

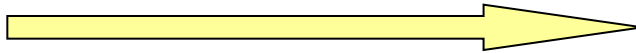
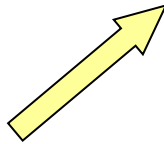
Exprimované geny a přírodní selekce

Produkty funkčních genů a
jejich význam v ekologických
studiích



Geny a adaptace

- studium selekčních tlaků daných prostředím a evoluční odpovědi na ně → vznik **adaptací**, tj. **geneticky** podmíněné přizpůsobení se prostředí (vs. fenotypová plasticita)
- např. interakce s abiotickým prostředím



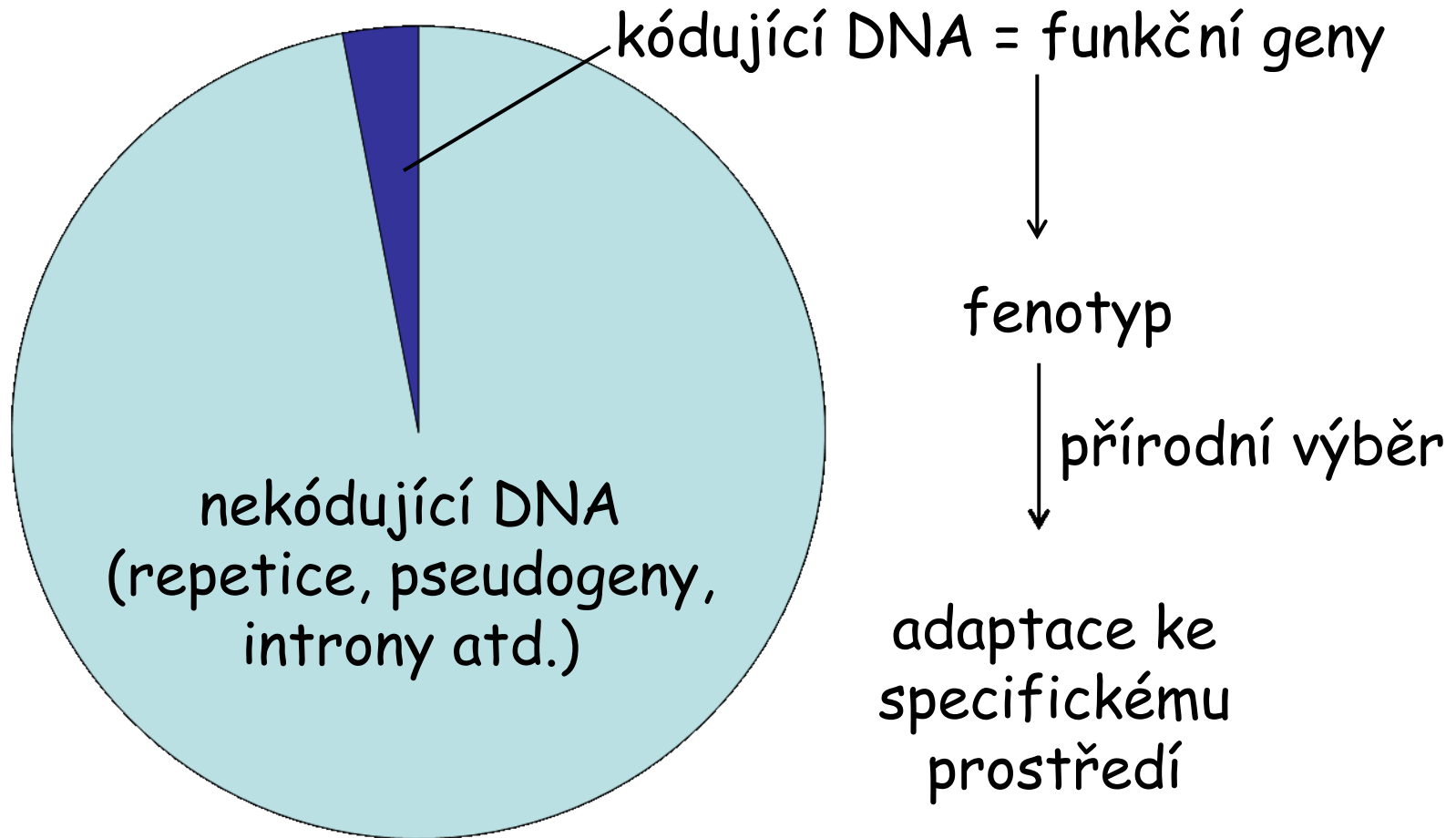
Proč geny v molekulární ekologii?

- Geny mají funkční význam - geneticky determinovaný polymorfismus
- -> studium **proximálních mechanismů**



- **Př.: Proč je samec hýla rudého červeně zbarven?**
- **ultimátní vysvětlení** - aby se líbil samicím a zplodil s nimi více potomků
- **proximátní vysvětlení** - protože karotenoidy získané z potravy ukládá více do peří a méně je používá v imunitní odpovědi (protože má dobré geny)

Funkční vs. neutrální genetická variabilita



97% lidské DNA nic nekóduje!!!

Jak relevantní je informace získaná z genetických dat

Příklad: 10 microsatelitů
= „neutrální znaky“

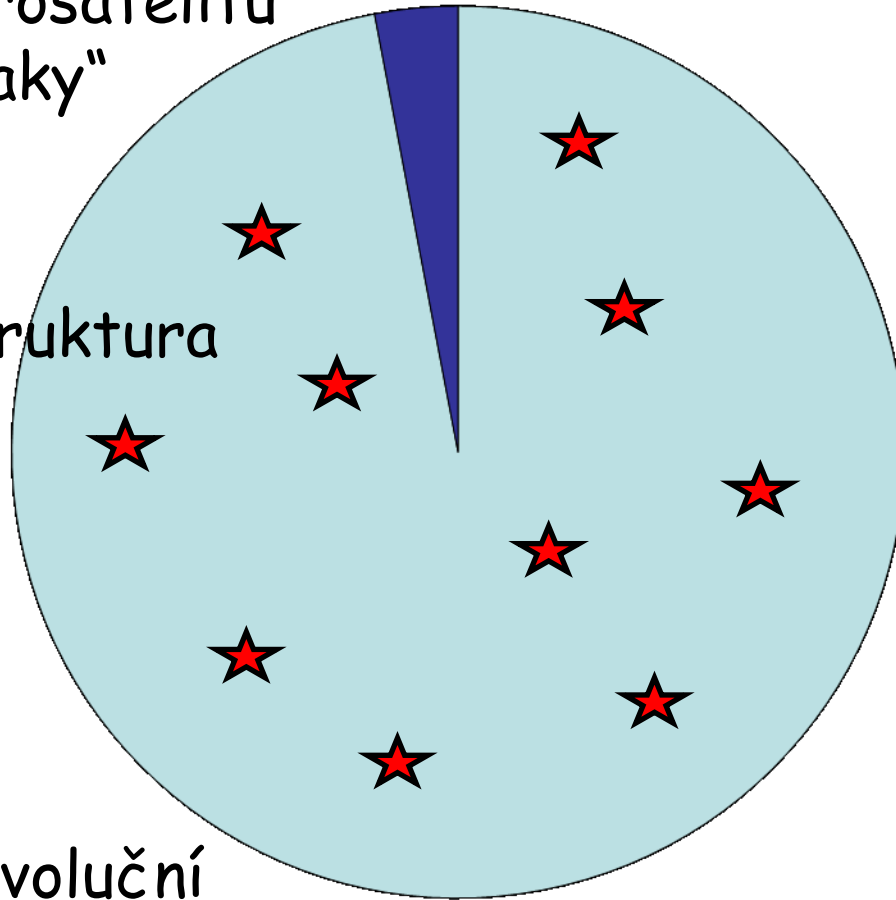
✓ populačně-
genetická struktura

✓ inbreeding

✓ bottleneck

✗ adaptace

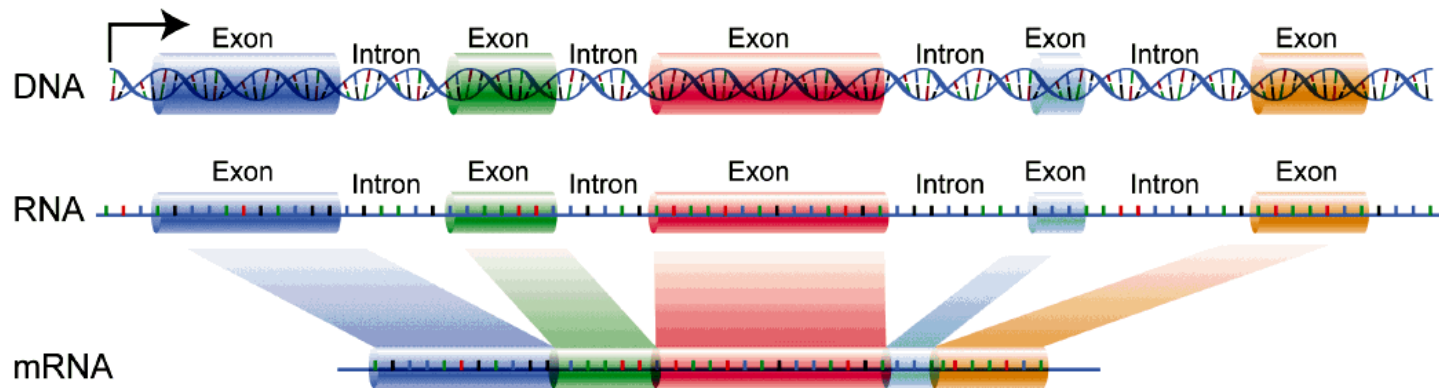
✗ proximální evoluční
mechanismy



↓
a priori
neutrální k
působení
přírodního
výběru

Struktura genů

- Exons → protein coding, under selection
- Introns → non-coding, neutral
- Intergenic regions → non-coding, neutral



Degenerovaný genetický kód

GCT	→	Alanine
GCA	→	Alanine
GCC	→	Alanine
GCG	→	Alanine
CCT	→	Proline
GGA	→	Glycine

→ 3rd position evolves neutrally

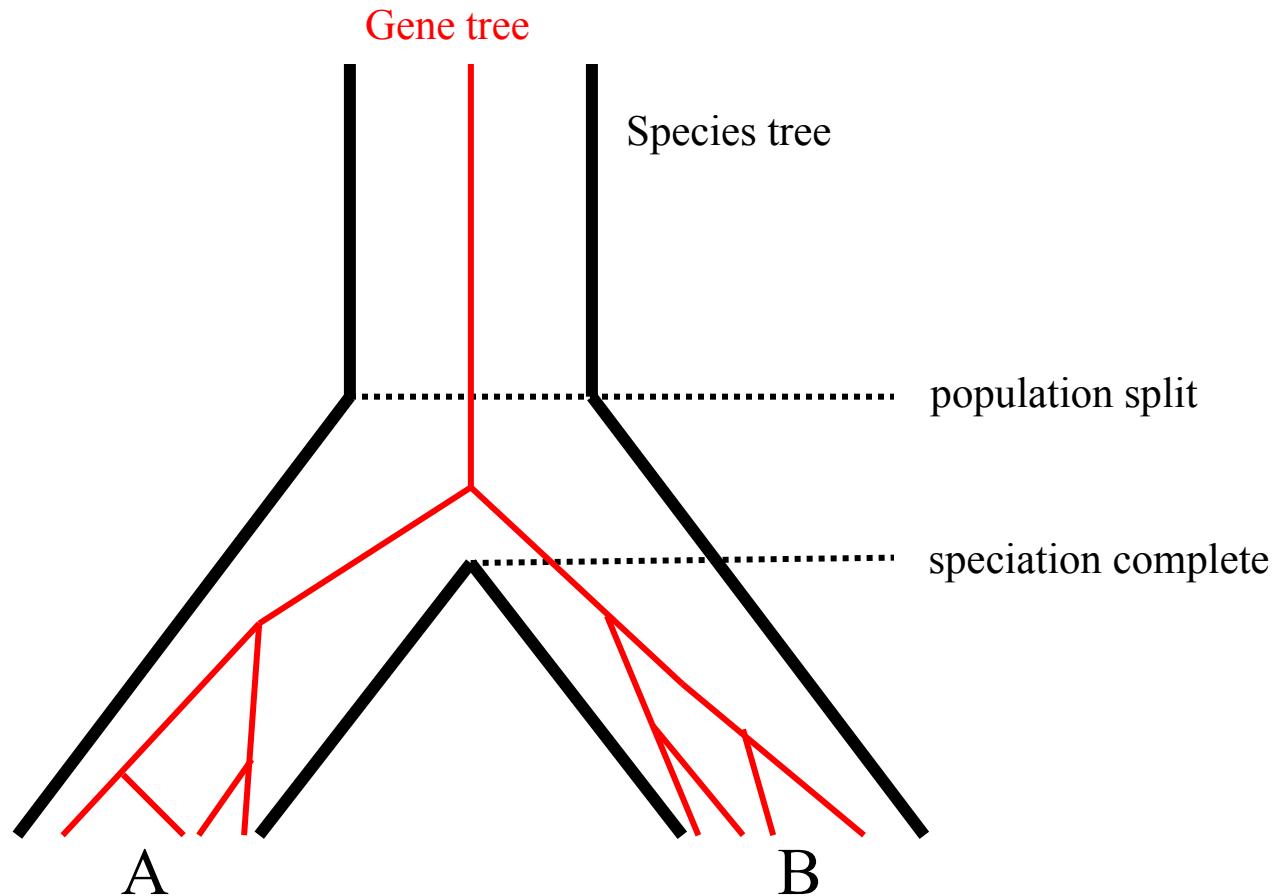
→ 1st and 2nd position under selection

Jak poznat, že na daný gen působí selekce?

- **Fylogenetická analýza** (detekce na úrovni sekvencí)
- **Populačně-genetická analýza** (detekce na úrovni frekvence alel)

Jak poznat, že na daný gen působí selekce?

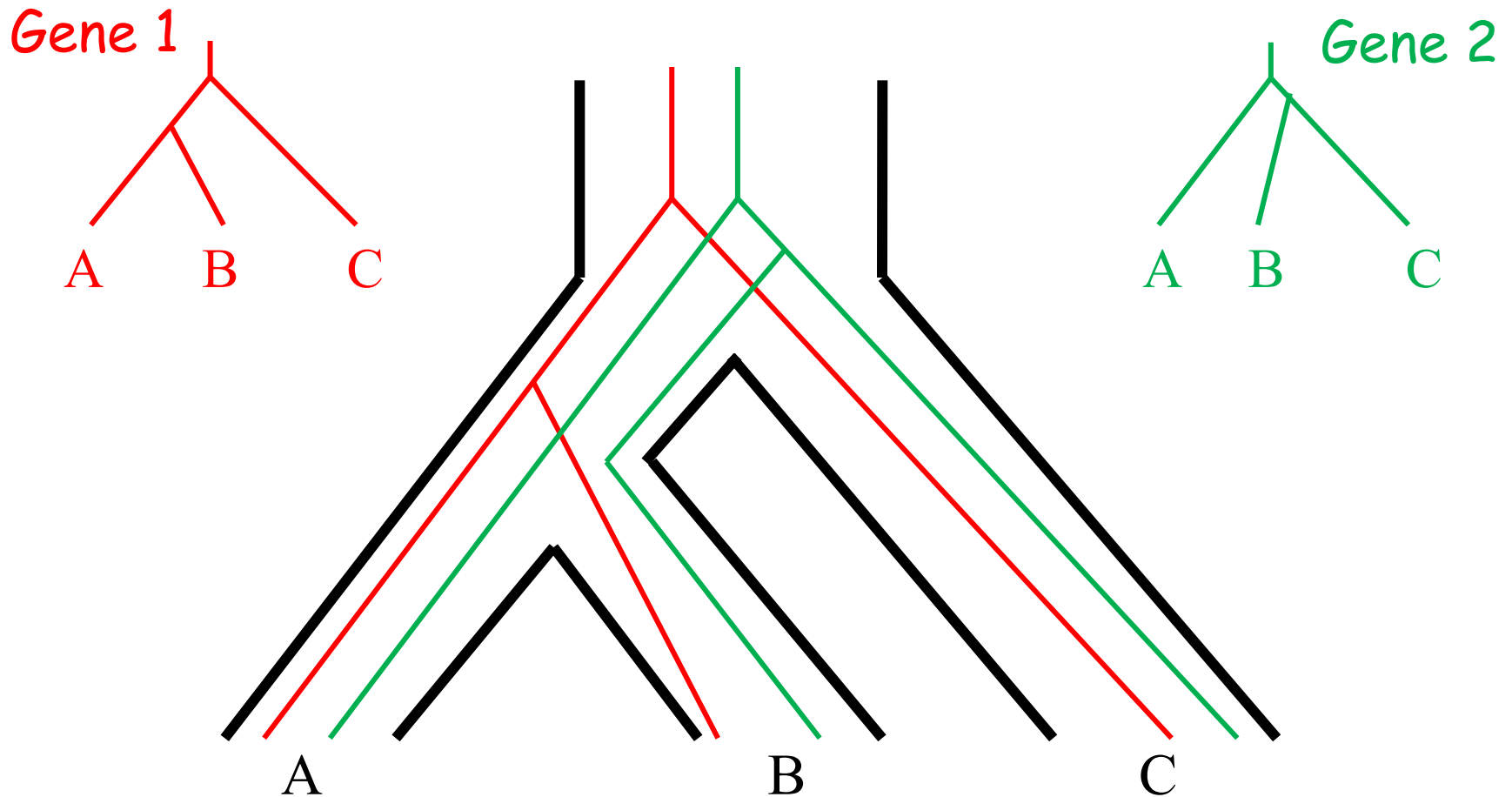
- Gene-tree versus species tree



Studium selekce - fylogenetická analýza

Studium selekce - fylogenetická analýza

- Gene-tree versus species tree



Studium selekce - fylogenetická analýza

- Gene-trees & Selection: The case of C₄ photosynthesis

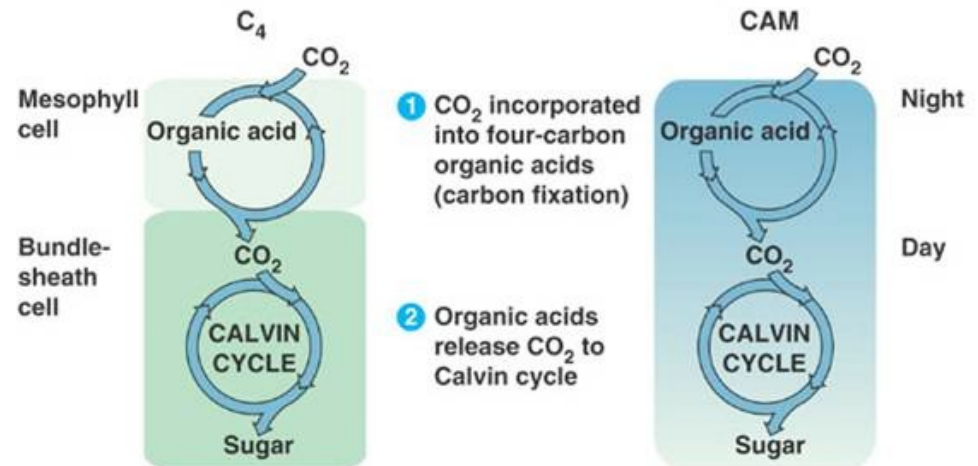
- Christin et al. 2007, Curr Biol
- *PEPC* gene
- → C₄ photosynthesis



Sugarcane

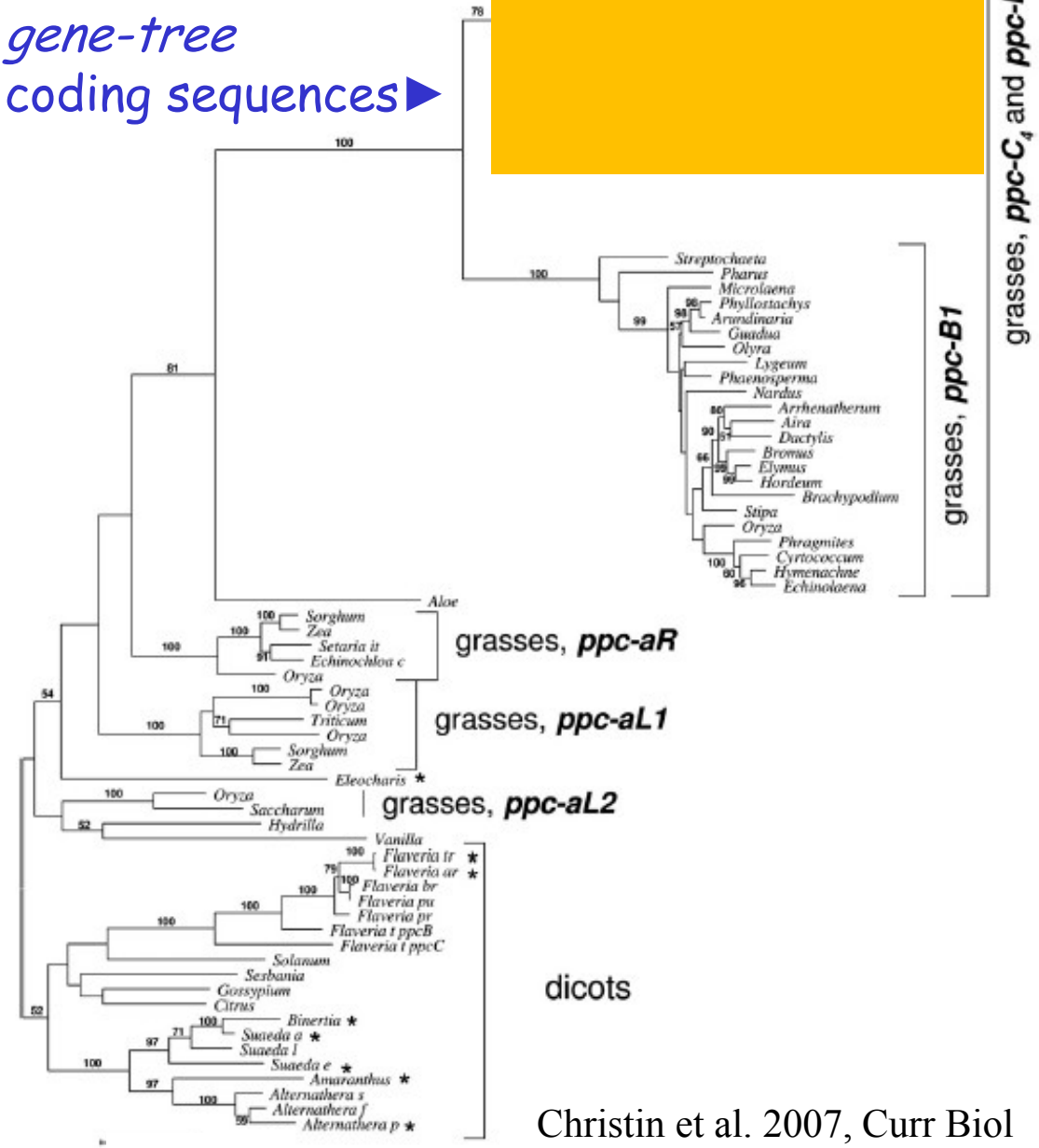
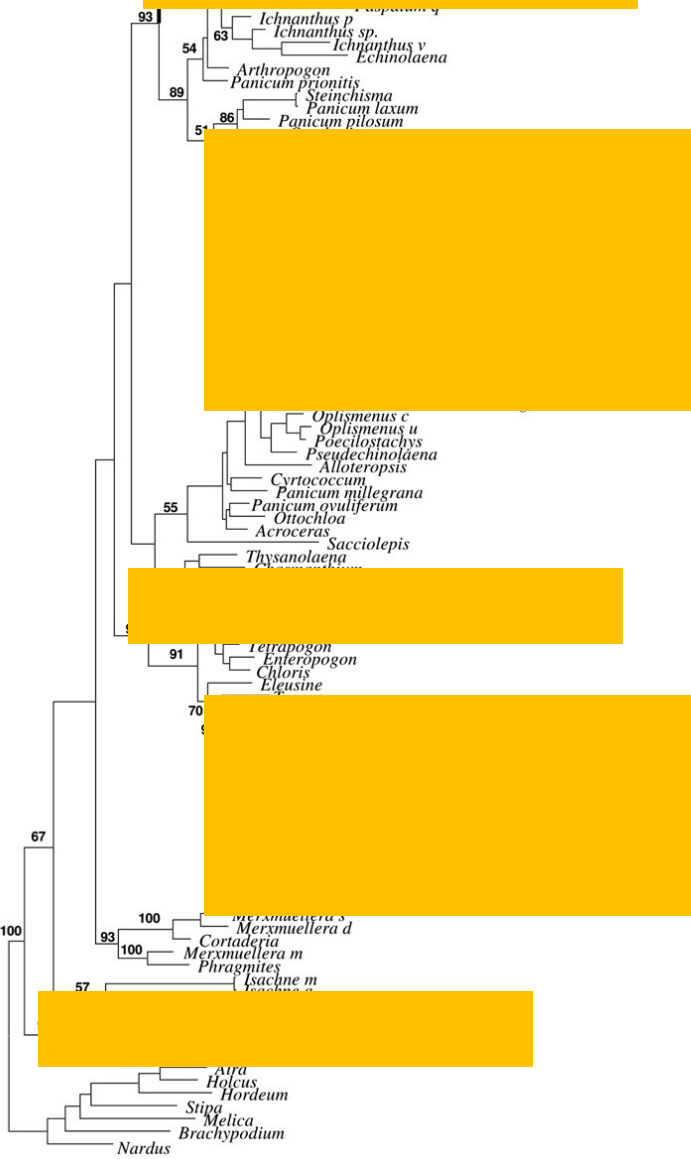


Pineapple

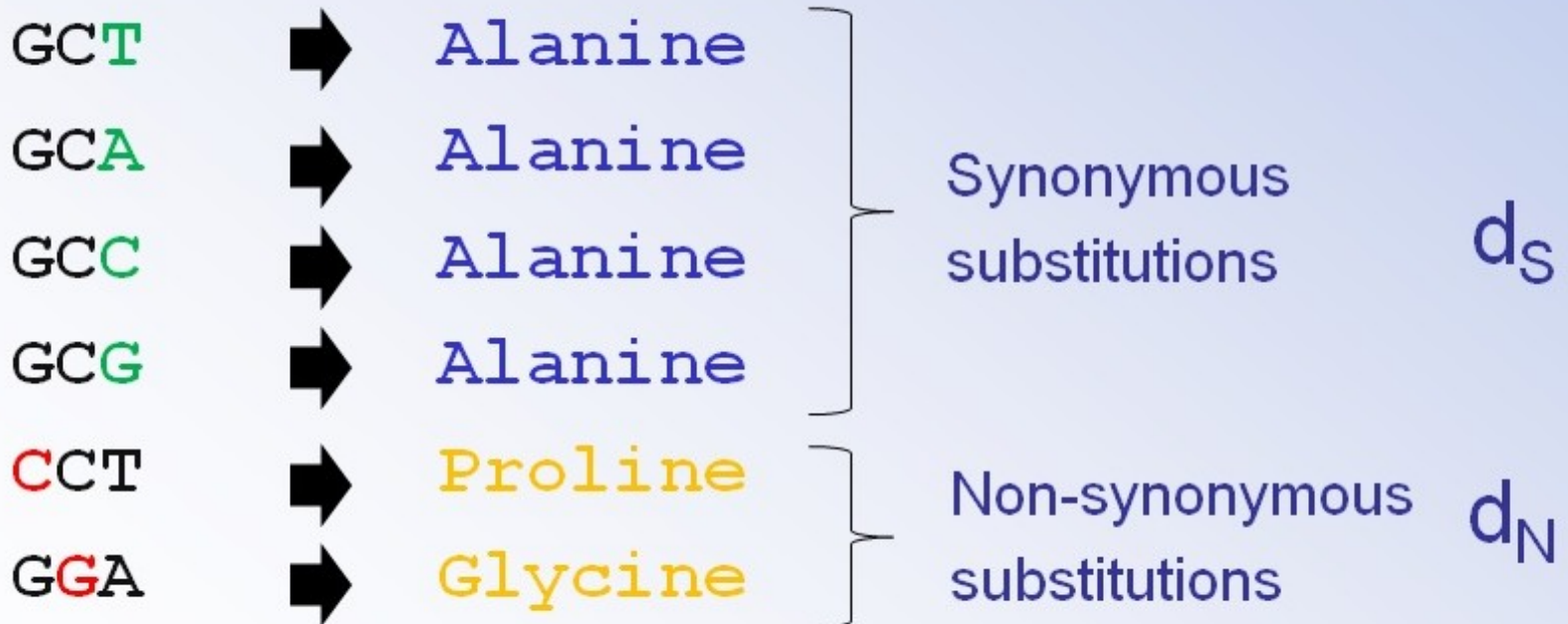


species-tree
 ◀ intronic sequences

gene-tree
 coding sequences ▶



Selekce na úrovni sekvencí



Selekcje na úrovni sekvencí

• Testing for selection: d_N/d_S

d_S Rate of synonymous substitutions, 'neutral' evolutionary rate

d_N Rate of non-synonymous substitutions

• $d_N/d_S = 1$ as many syn as non-syn substitutions \rightarrow neutral evolution

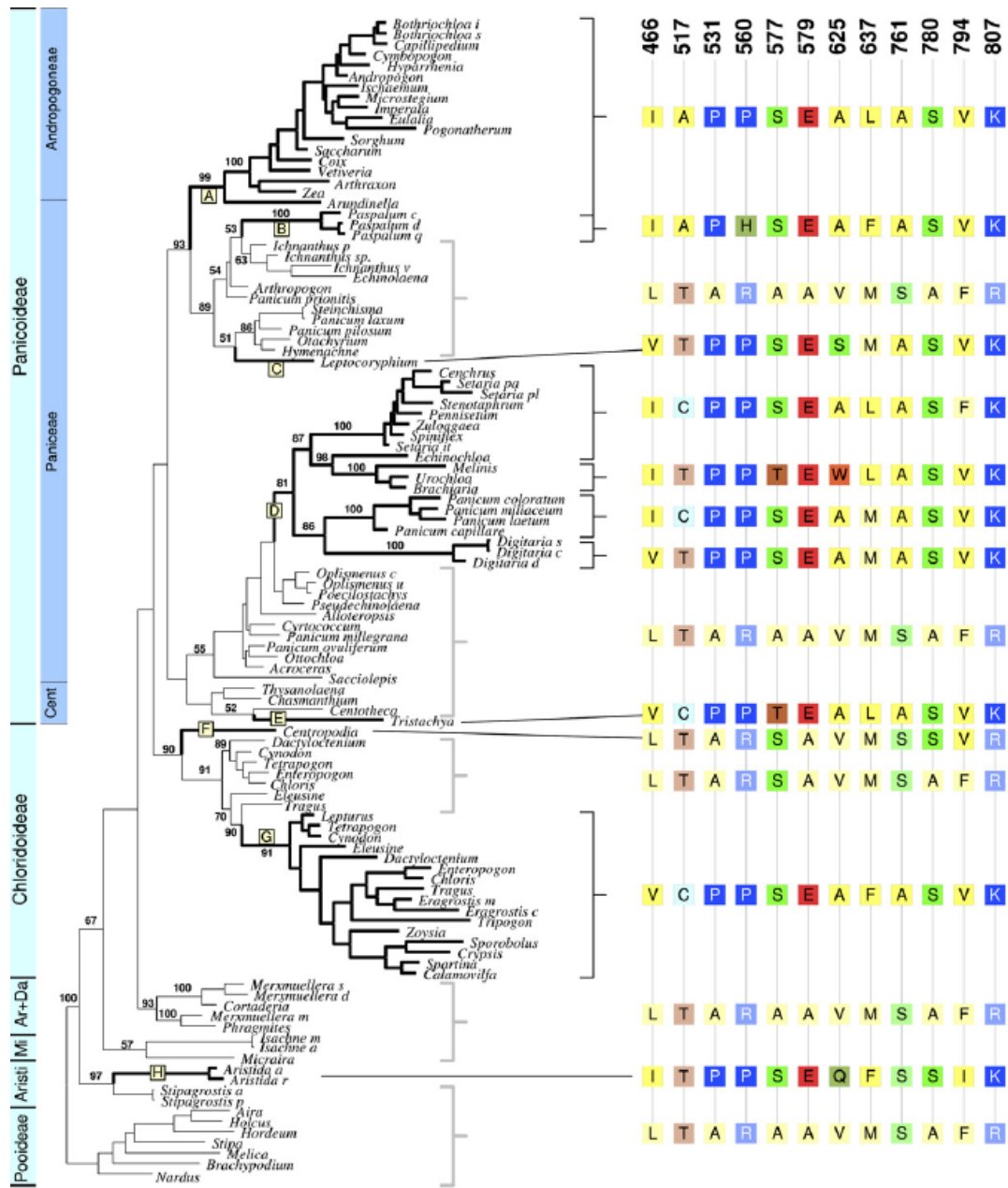
• $d_N/d_S < 1$ less non-syn than syn substitutions \rightarrow purifying selection

• $d_N/d_S > 1$ more non-syn than syn substitutions \rightarrow positive selection

◀ intronic sequences

coding sequences ▶
without positively
selected sites





PEPC gene

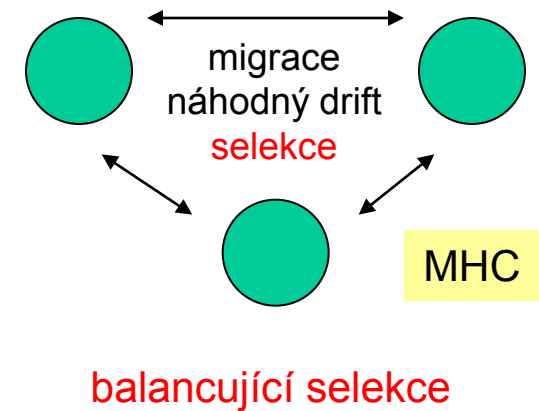
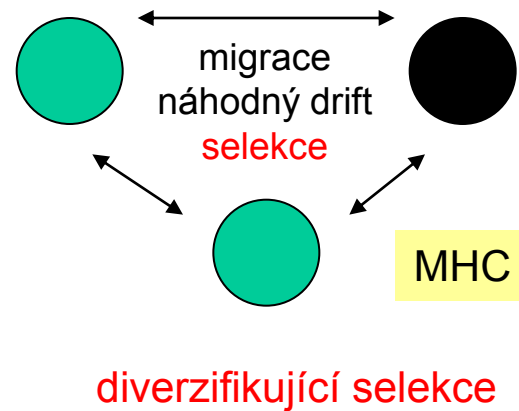
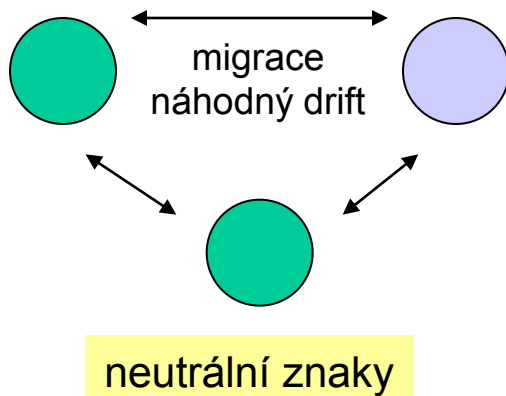
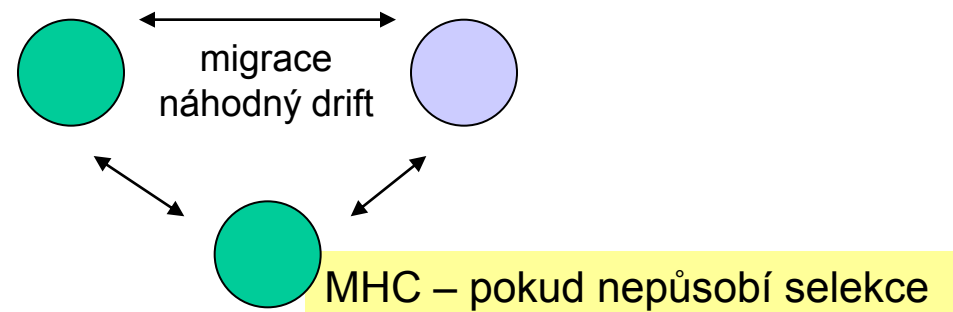
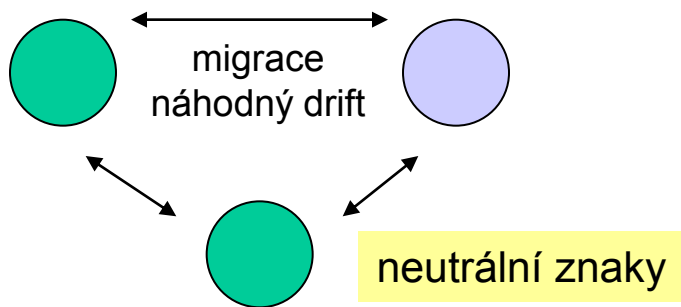
12 codons with $d_N/d_S > 1$

Sequences of unrelated but ecologically similar species more similar at these positions than they are in related species.

→ convergent evolution!

Studium selekce - populačně-genetická analýza

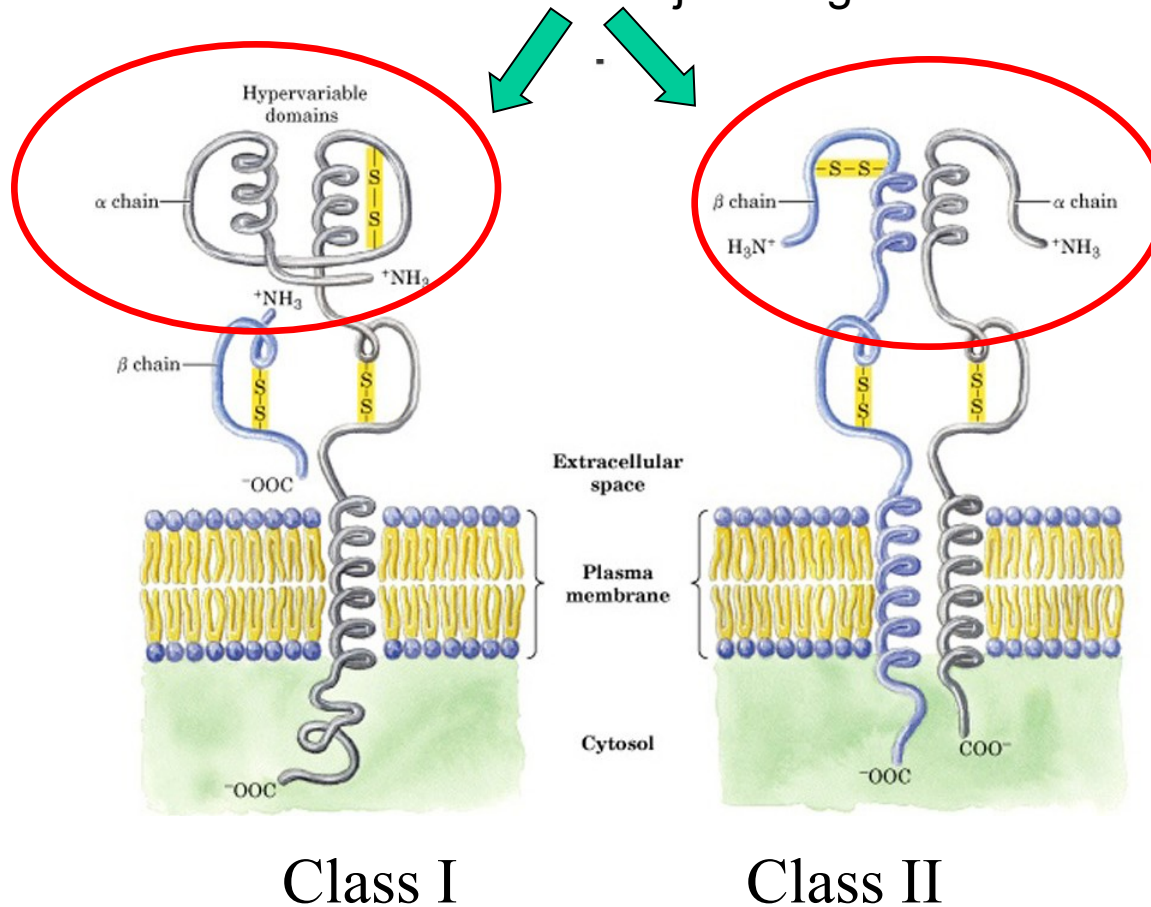
- Srovnání populačně-genetické struktury na MHC genech a neutrálních znacích (mikrosatelity)



Major histocompatibility complex (MHC)

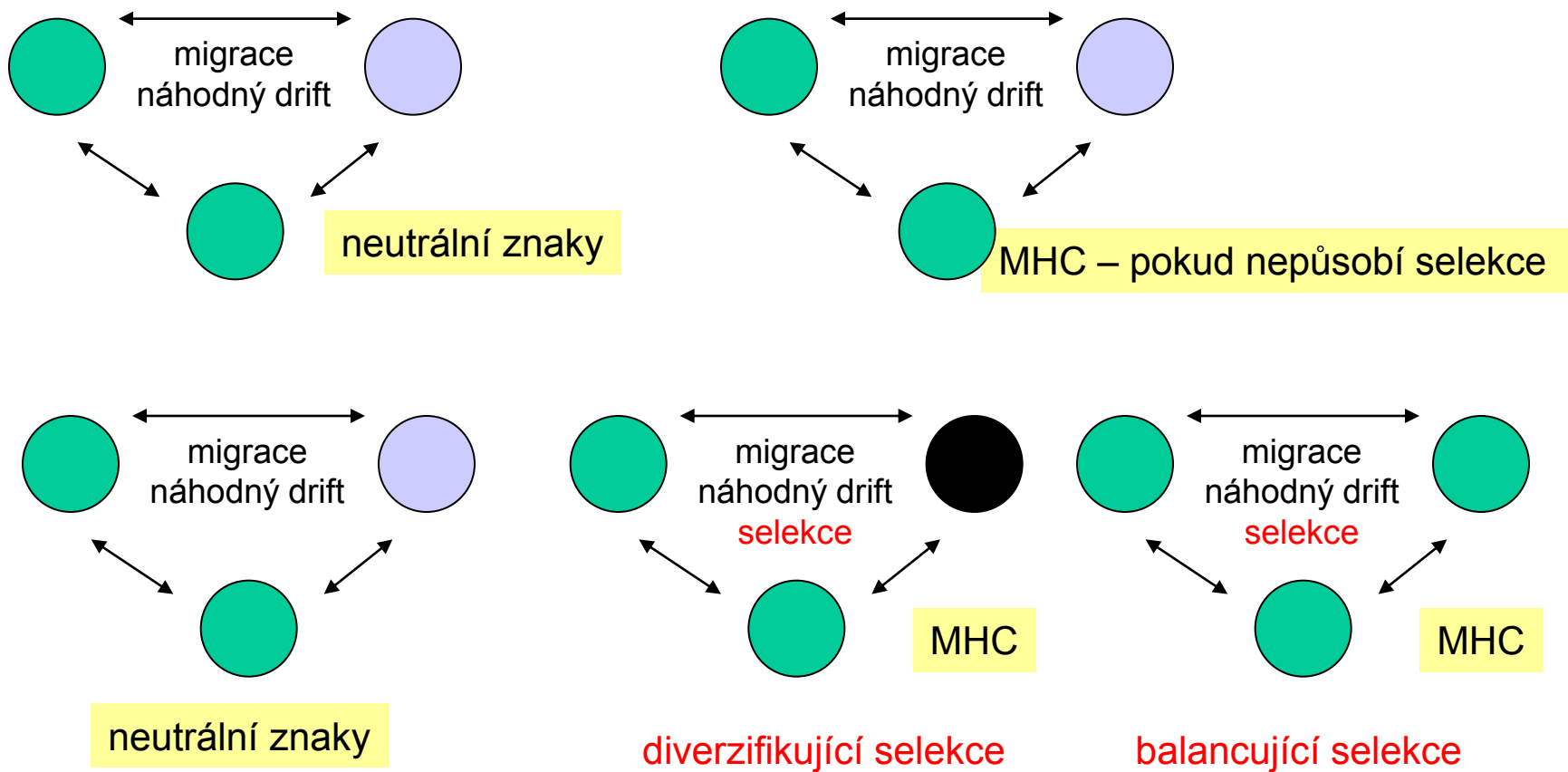
Buňka nabízející antigen spustí imunitní odpověď

Oblast rozeznávající antigen



Studium selekce - populačně-genetická analýza

- Srovnání populačně-genetické struktury na MHC genech a neutrálních znacích (mikrosatelity)



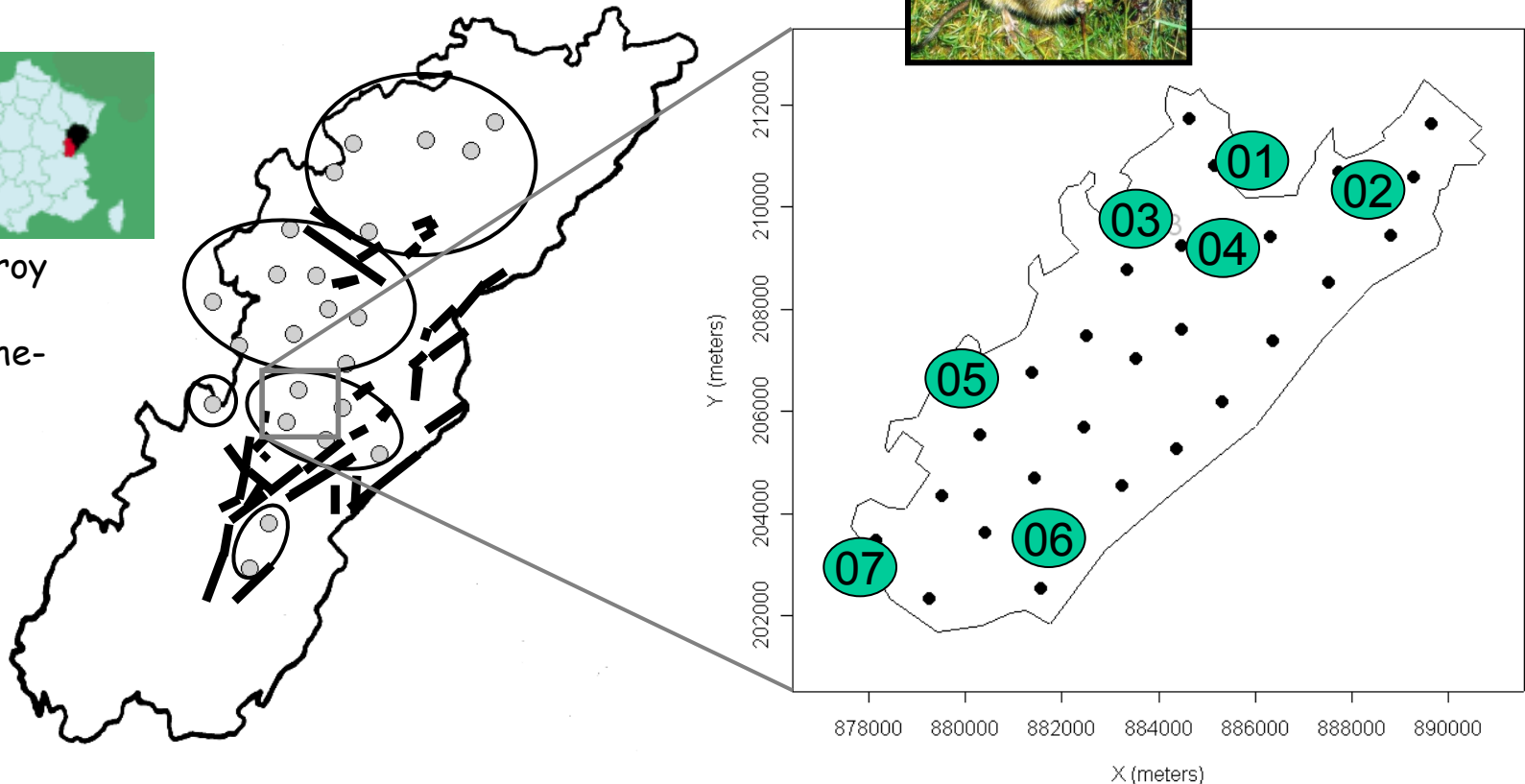
Je možno kvantifikovat např. pomocí F_{ST}

Důkaz přírodního výběru v současnosti: analýza populačně-genetické struktury

- Srovnání neutrálních znaků a MHC

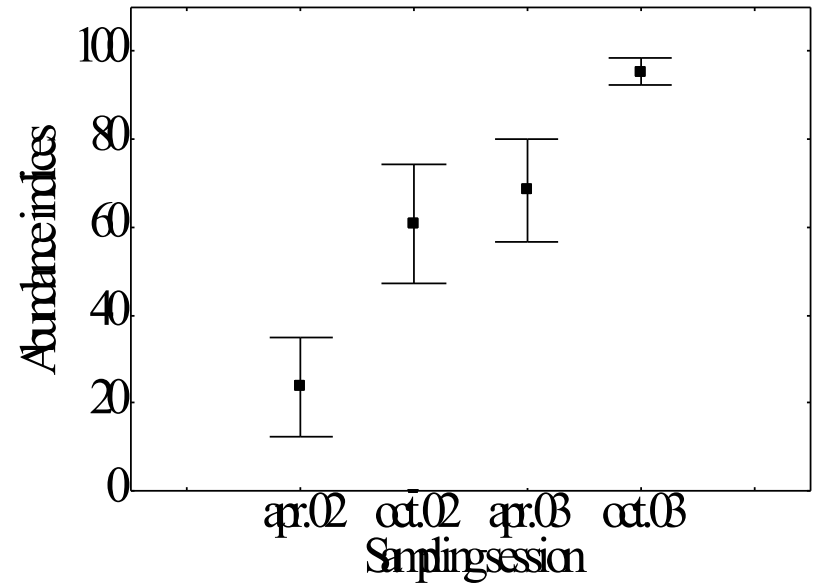
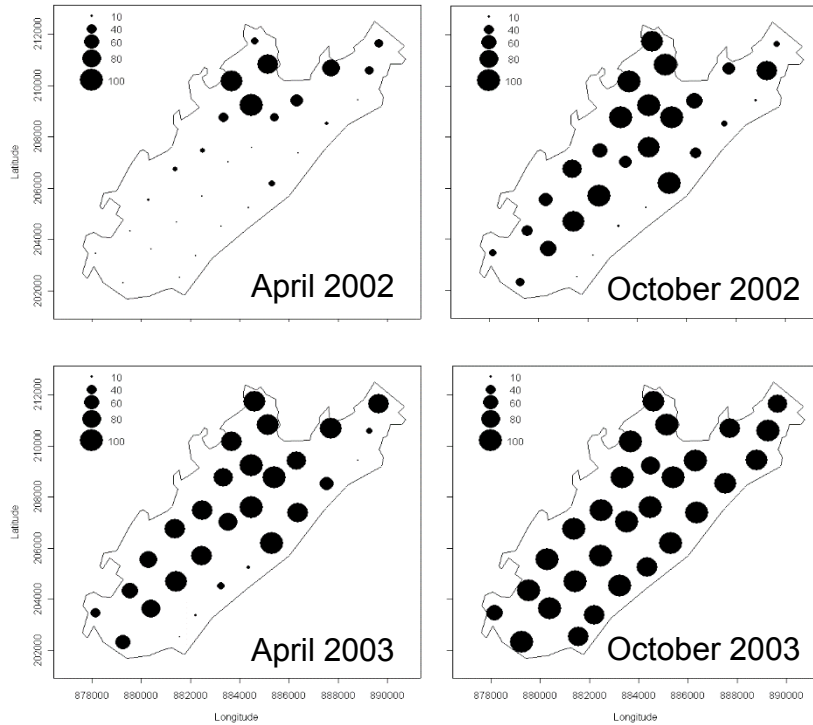


Canton Nozeroy
(pohoří Jura,
région Franche-
Comté)

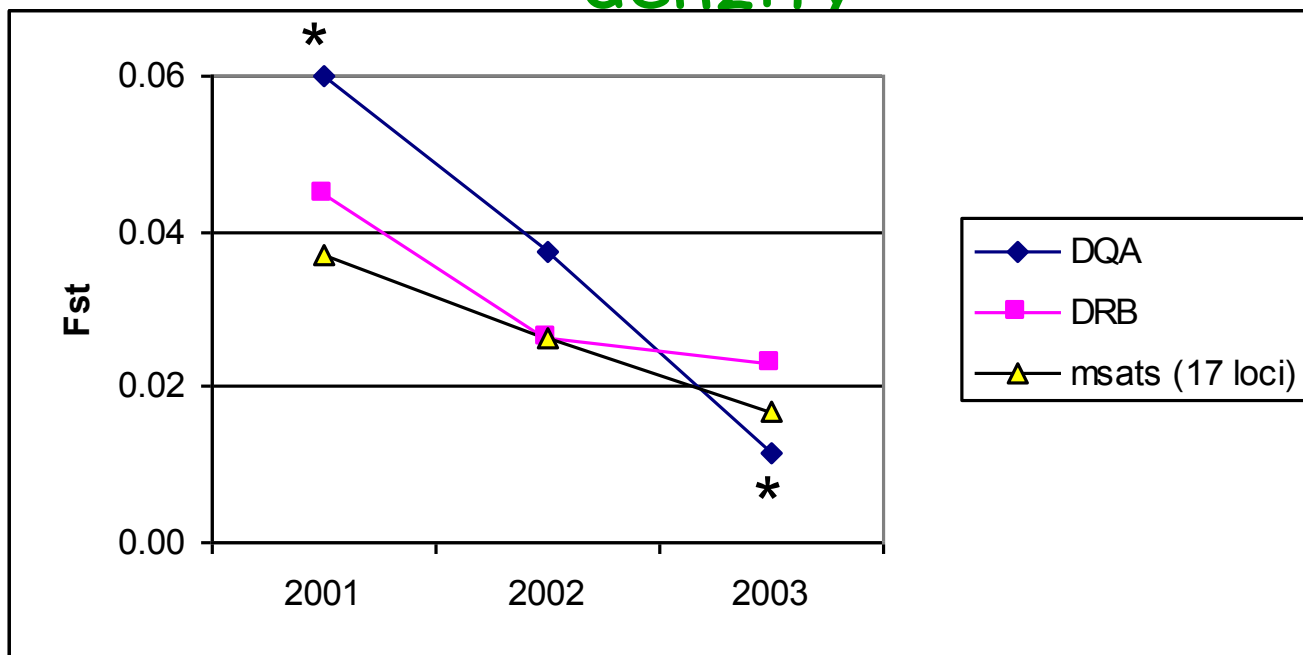


Studované lokality - 7 populací ve
stejně fázi populačního cyklu

→ 2001-2003: fáze růstu populační hustoty



Diferenciace populací v průběhu růstu denzity

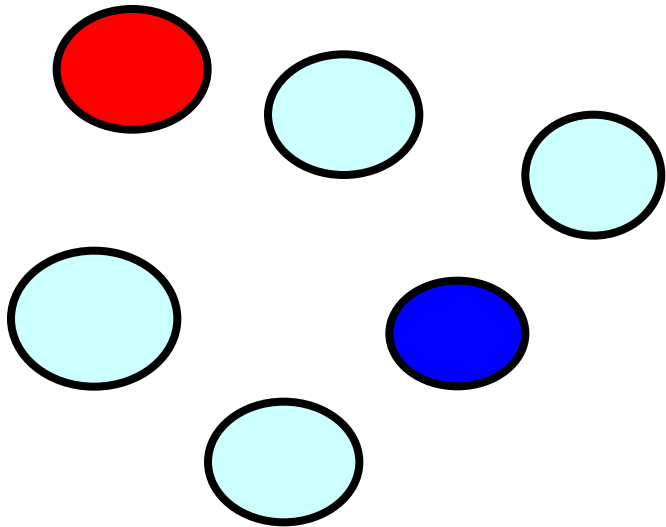


* Signifikantní rozdíl DQA1 vs. mikrosatelity

Pokles diferenciace s nárůstem denzity (nárůst disperze, tj. toku genů)

MHC (zejména DQA1) - signifikantně odlišné od mikrosatelitů

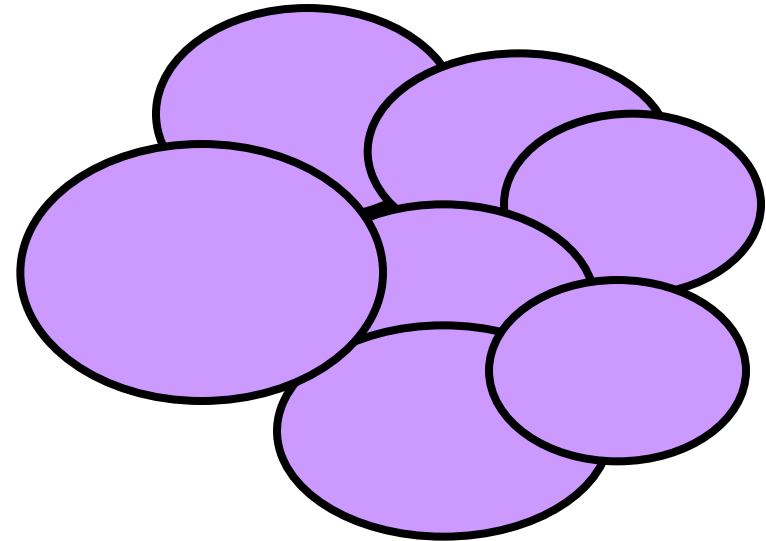
Závěr: Typ selekce na MHC závisí na početnosti populace



Nízká denzita

Lokální rozdíly ve
společenstvech patogenů

**Lokální diverzifikující
selekce**



Vysoká denzita

Nárůst diverzity
parazitů v důsledku
disperze

Balancující selekce

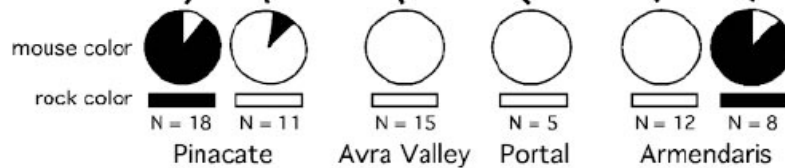
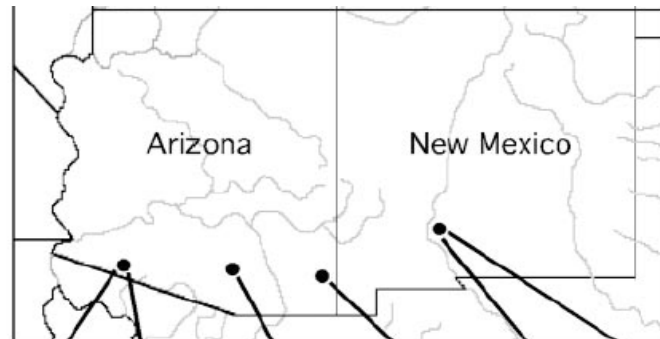
Metody studia funkční variability

1. Sledování kandidátních genů
2. Genomické přístupy (mnoho genů najednou)

pytlouš

Chaetodipus intermedius

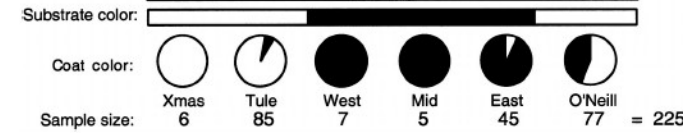
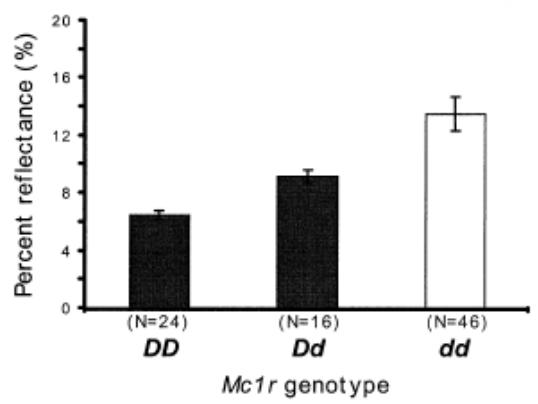
Hoekstra, Nachman et al.



- Tmavé a světlé zbarvení
- Odpovídá barvě prostředí (tmavé zbarvení na lávě)

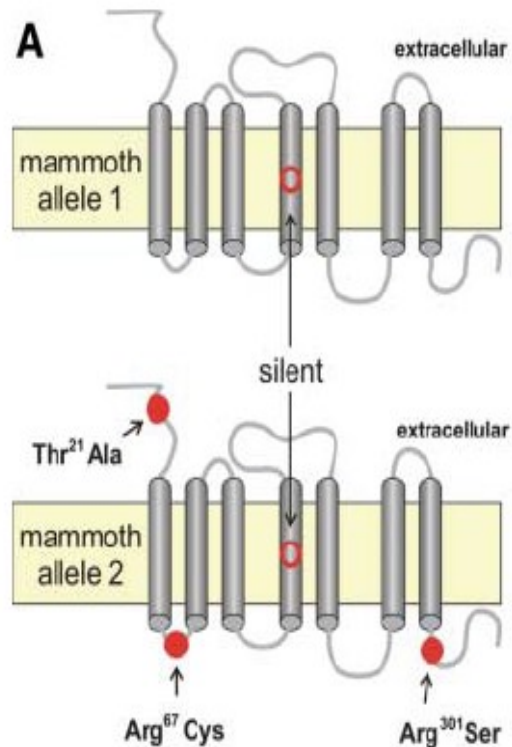
- **Arizona**

- Korelace zbarvení s prostředím i na malé škále
- mtDNA nekoreluje se zbarvením
- Sekvenování kandidátních genů (známých z inbredních myši)
- melanocortin-1 receptor MC1R
- Záměna 4 aminokyselin
- Jednoduchá dědičnost alel a zbarvení



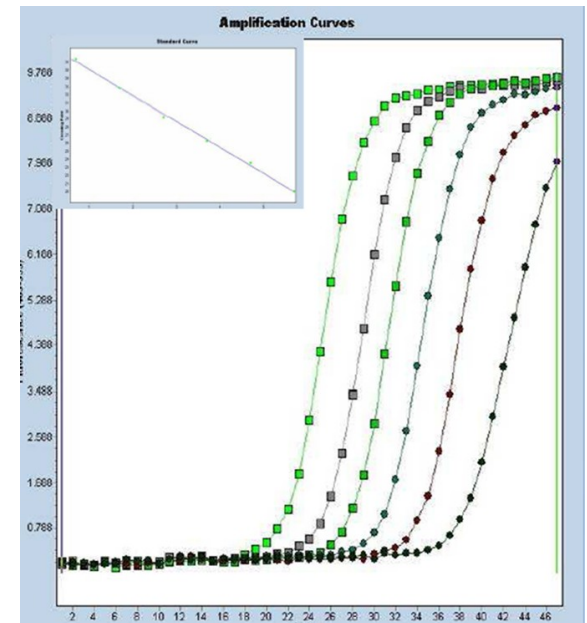
MC1R u člověka, mamuta a dalších

- U člověka zrzavé vlasy a neschopnost se opálit
- Zbarvení krav, koňů a psů
- Výskyt dvou odlišných variant u mamutů

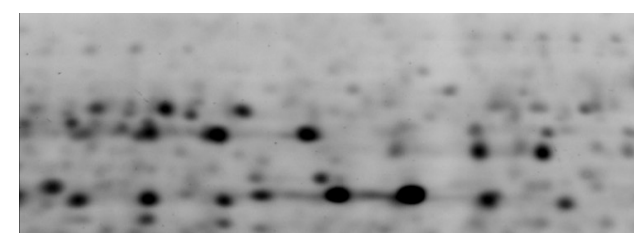
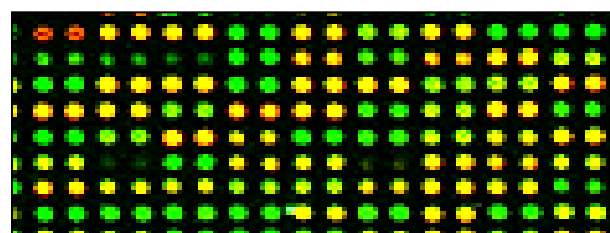
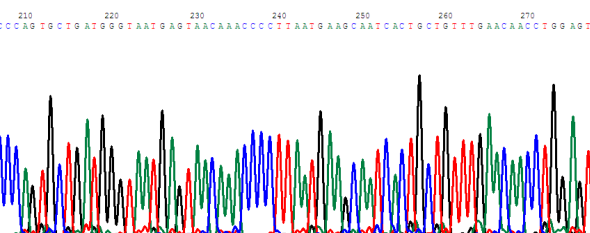
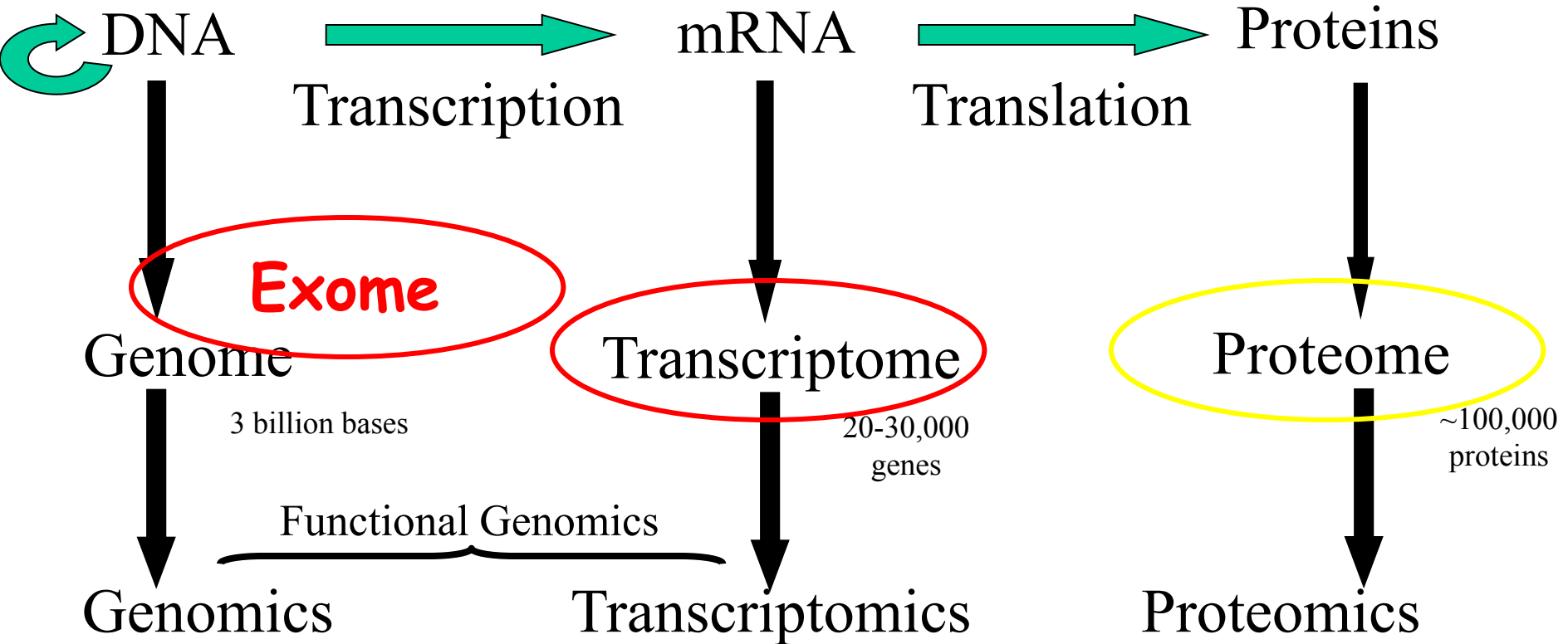
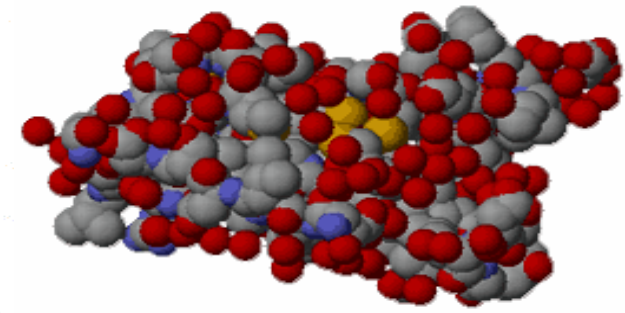
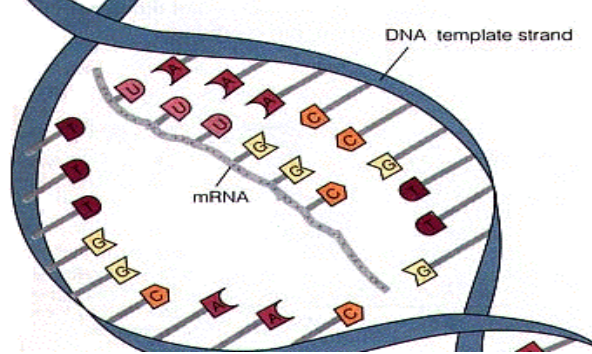
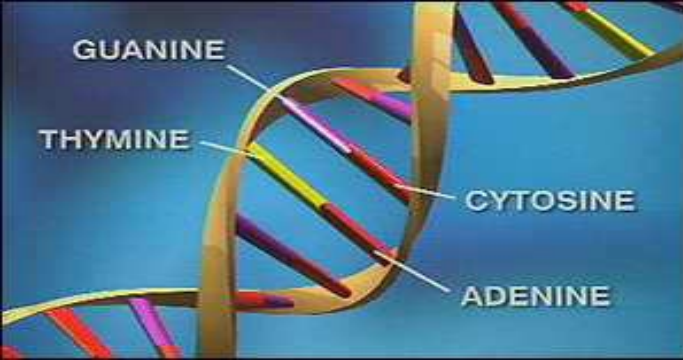


Measuring of expression - qPCR

- Relative comparison of quantity of particular DNA, e.g. level of specific gene expression (i.e. particular RNA = cDNA) (e.g. comparison of different tissue types, elevations, treatment vs. non-treatment etc.)
- **housekeeping genes** – use as standard for quantification
- same number of copies in all cells (e.g. genes encoding proteins of cytoskeleton)
- constitutive genes - expressed in all cells, independent on experimental treatment
- validation of housekeeping genes should be performed before their use in gene expression experiments



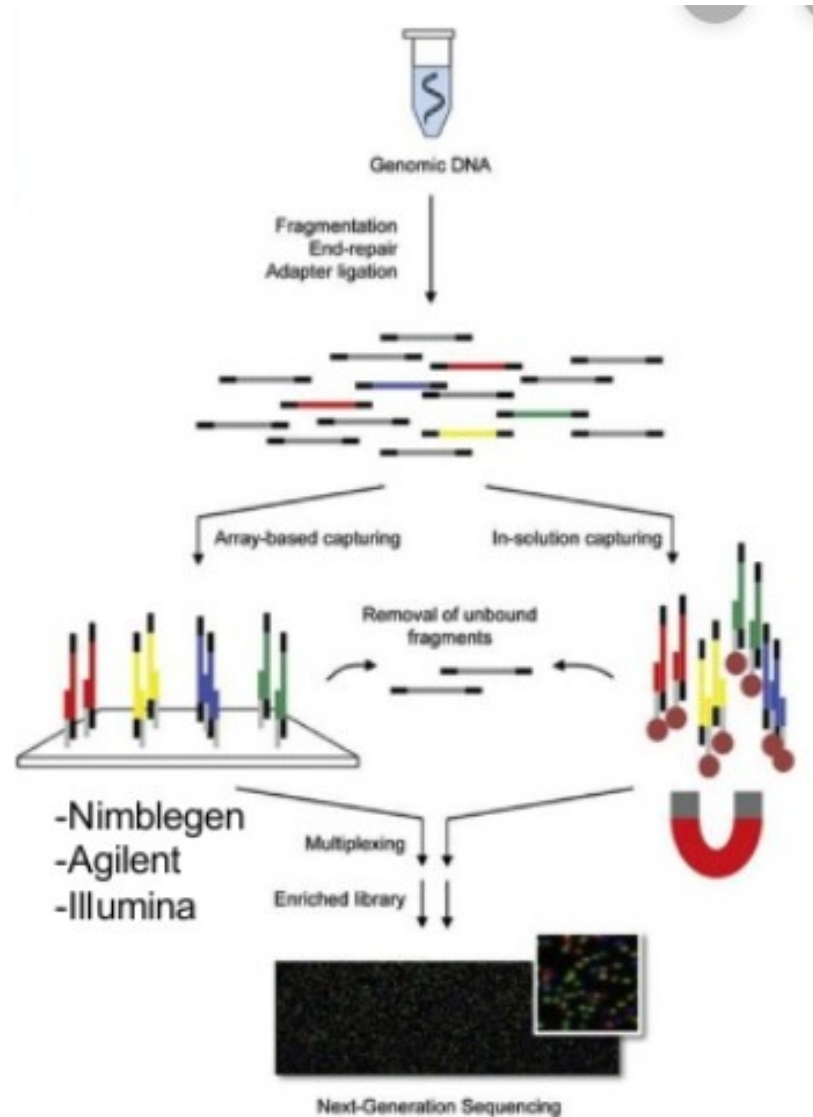
Sledování mnoha genů najednou



Exome-Seq

Targeted exome capture

- targets ca. 20,000 coding sequences
- high depth of coverage for more accurate variant calling



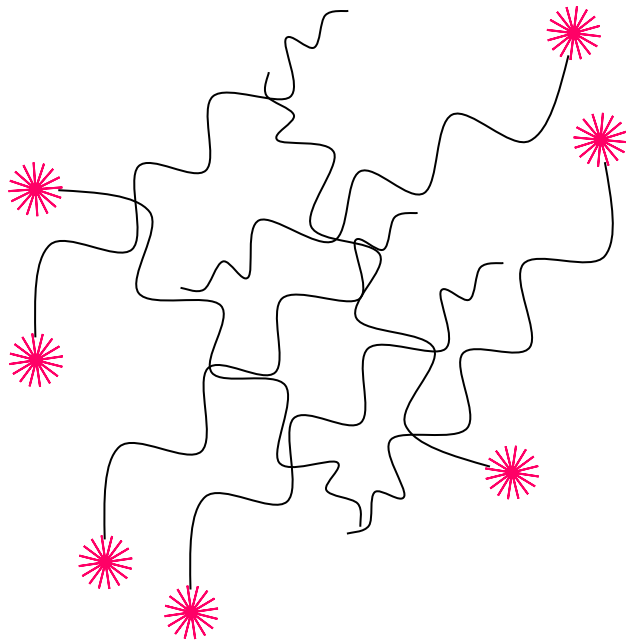
Transcriptomics - analysis of mRNAs

1. microarrays
2. RNA seq (NGS)

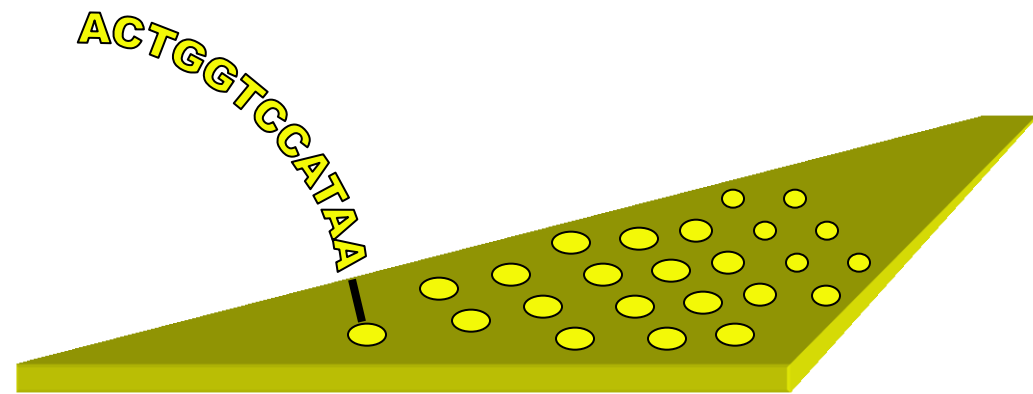
1. Analysis of gene expression by microarrays

Ranz JM, Machado CA: Uncovering evolutionary patterns of gene expression using microarrays. *TREE*, 21(1): 29-37

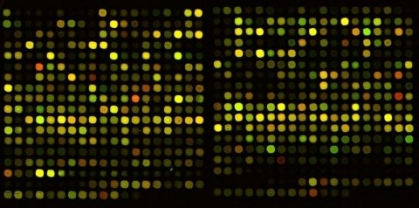
Microarray analysis of transcriptome (~ specific DNA hybridization)



Target (i.e. mix of transcripts in a form of cDNA = mRNA přepsaná do DNA reverzní transkriptázou, tj. neobsahuje introny)



Probe (i.e. synthesized oligonucleotides complementary to particular genes)

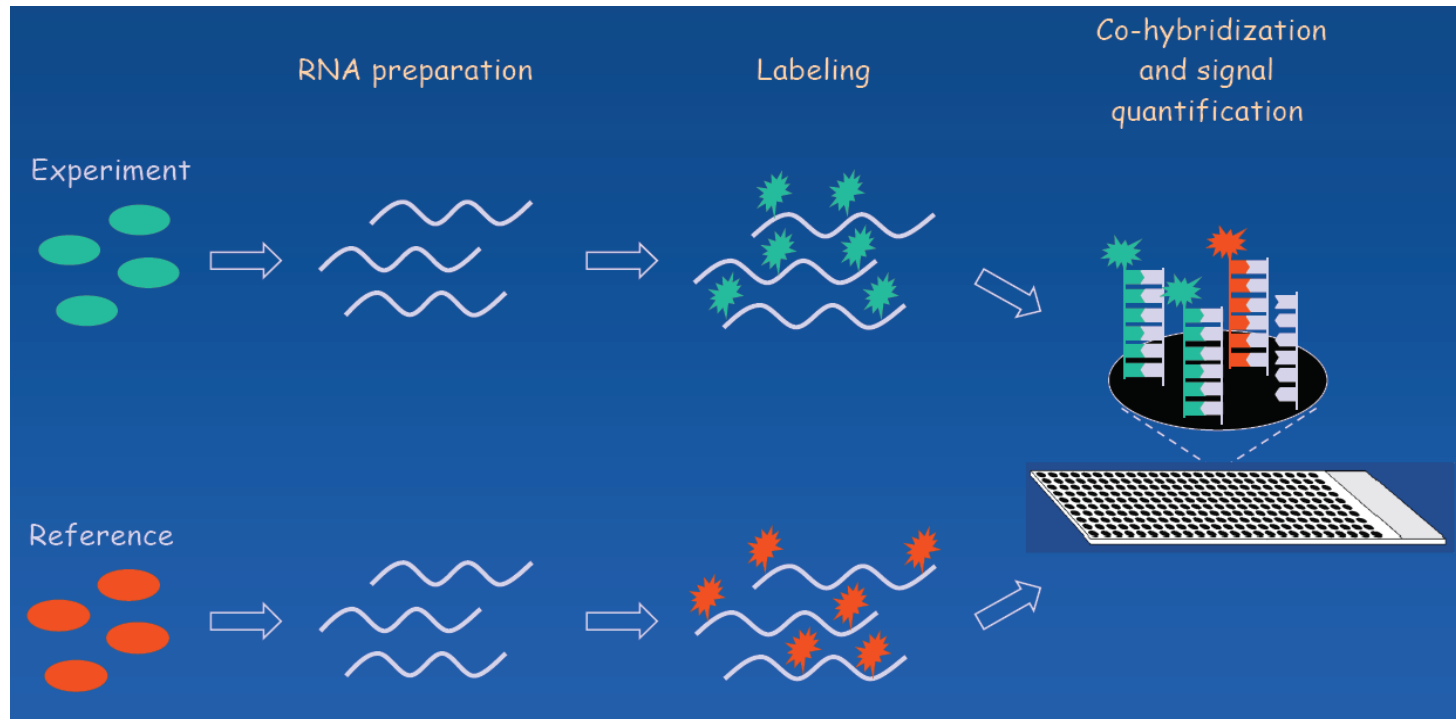


Sledování exprese genů microarrays

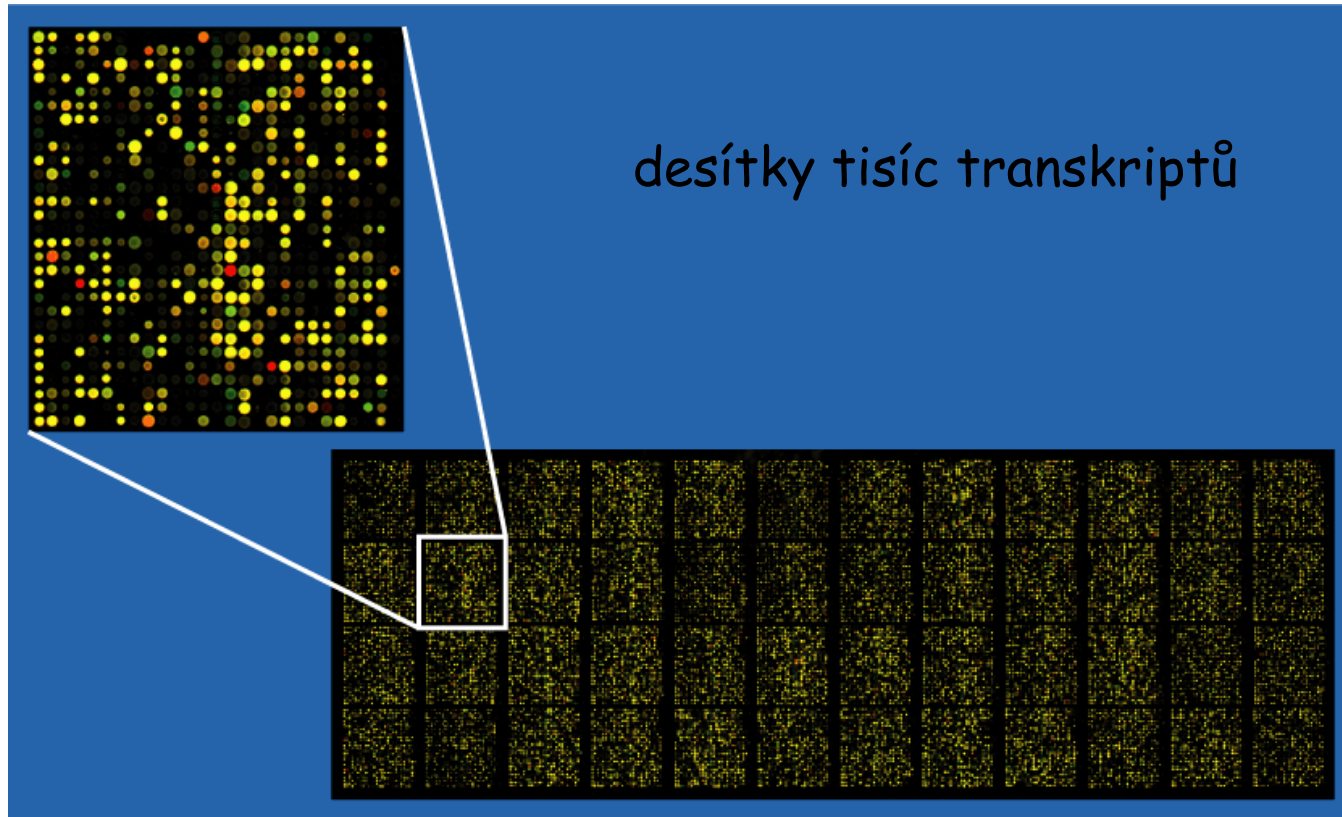
- Sledování exprese mnoha (tisíce) genů najednou
- Založeno na hybridizaci
- Sleduje se rozdíl vůči kontrole ("heterologous hybridization") = dvoukanálový experiment



Affymetrix
Agilent Technologies



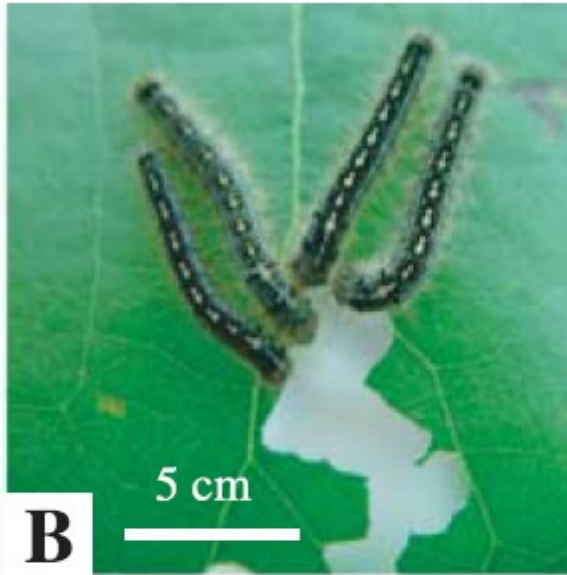
Vyhodnocení chipu - analýza obrazu (srovnání úrovně exprese mezi kontrolou a experimentem)



- komerčně dostupné pro kompletní transkriptom cca 25 druhů (Affymetrix)
(další jsou rychle vyvíjeny, i na zakázku)
- celkově ale microarrays ustupují před RNAseq



Populus trichocarpa x *deltoides*
a *Malacosoma disstria* bourovec
Ralph et al. 2006

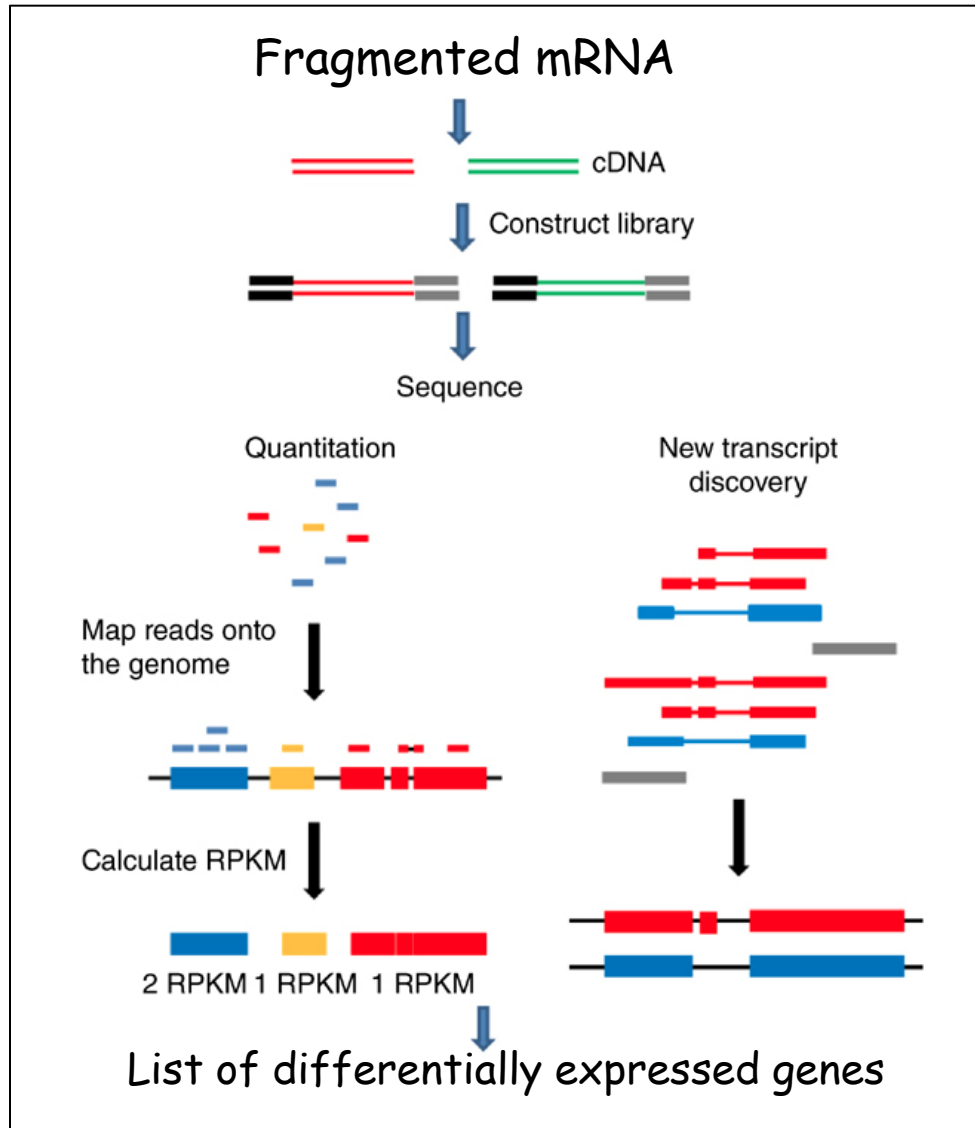


- cDNA microarray
- 15496 genů > ¾ genomu
- Po 24 hodinách
1191 genů up-regulated
537 down-regulated
- Obrana: endochitinázy, inhibitory proteáz
- Signální funkce
- Transport, metabolismus, regulace transkripce

2. RNAseq

(„high-throughput sequencing of cDNAs“)

RNA-Seq workflow for gene expression analysis



RNA-Seq quantification

(RPKM = reads per kilobase per million reads)

Gene 1



Gene 2



Actual Read Alignment to Alternative Splice Variants

Transcript 1



Transcript 2



Transcript 3



Transcript 4



The reference transcriptome is required

Gene ontology (<http://geneontology.org/>)

= functional annotation analysis

- založena na databázích dostupných anotovaných genů u modelových organismů
- **Cellular Component** - the parts of a cell or its extracellular environment
- **Molecular Function** - the elemental activities of a gene product at the molecular level, such as binding or catalysis
- **Biological Process** - operations or sets of molecular events with a defined beginning and end, pertinent to the functioning of integrated living units: cells, tissues, organs, and organisms.

geneontology.org

Nejnavštěvovanější Getting Started BIOSEB :: View Forum ... Administrace http://fox.ivb.cz/admi... Genepop on the Web

GENE ONTOLOGY Unifying Biology

About Ontology Annotations Downloads Help

ALLIANCE OF BIOINFORMATIC PRODUCTS FOUNDING MEMBER

THE GENE ONTOLOGY RESOURCE

The mission of the GO Consortium is to develop a comprehensive, **computational model of biological systems**, ranging from the molecular to the organism level, across the multiplicity of species in the tree of life.

The Gene Ontology (GO) knowledgebase is the world's largest source of information on the functions of genes. This knowledge is both human-readable and machine-readable, and is a foundation for computational analysis of large-scale molecular biology and genetics experiments in biomedical research.

Search GO term or Gene Product in AmiGO ...

Any ● Ontology ● Gene Product

GO Enrichment Analysis ?

Powered by PANTHER

Your gene IDs here...

biological process

Homo sapiens Examples Launch ▶

Hint: can use UniProt ID/AC, Gene Name, Gene Symbols, MOD IDs



The network of biological classes describing the current best representation of the "universe" of biology. The molecular functions, cellular locations, and processes gene products may carry out.



Statements, based on specific, traceable scientific evidence, asserting that a specific gene product is a real exemplar of a particular GO class.



GO Causal Activity Model (GO-CAM) provides a structured framework to link standard GO annotations into a more complete model of a biological system.



Tools to curate, browse, search, visualize and download both the ontology and annotations. Bioinformatic Guides (Notebooks) and simple API access to integrate GO into your research.

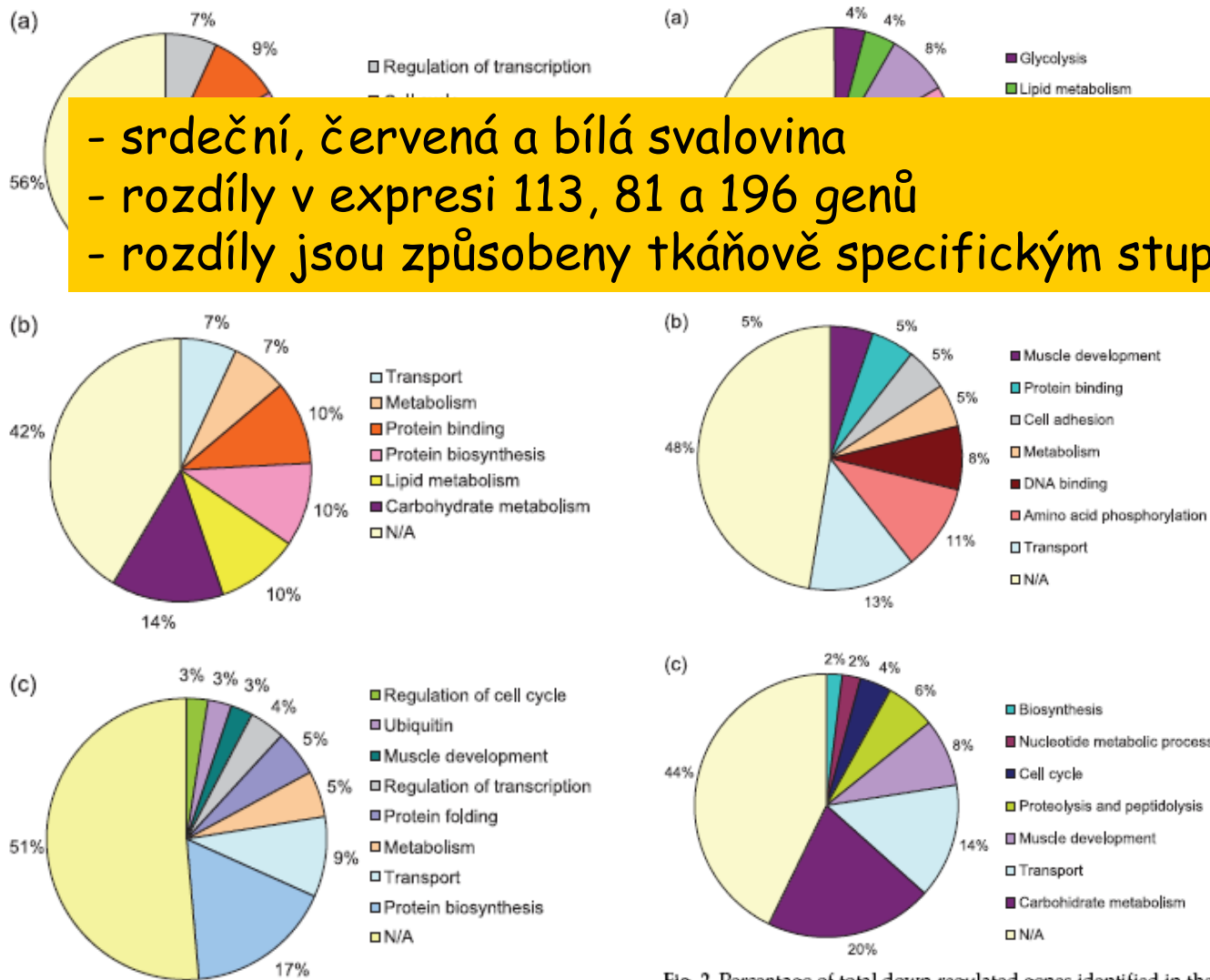
Example of GO annotation: cytochrome c

- *molecular function*: oxidoreductase activity
- *biological process*: oxidative phosphorylation
- *cellular component*: mitochondrial matrix

Examples

Jaká je úroveň exprese v různých tkáních?

quantitative real-time PCR



- srdeční, červená a bílá svalovina
 - rozdíly v expresi 113, 81 a 196 genů
 - rozdíly jsou způsobeny tkáňově specifickým stupněm endotermie

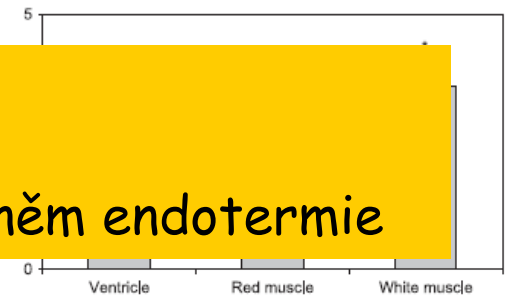


Fig. 3 Relative gene expression level of candidate gene *Hsp70* in cold-stressed *Thunnus orientalis* ($n = 7$) determined by quantitative real-time PCR. Expression levels were normalized to the house-keeping gene β -actin. (*) Significant values between means.



Fig. 1 Percentage of total up-regulated genes identified in the Gene Ontologies (Biological Process) of ventricle (a), red muscle (b) and white muscle (c).

Fig. 2 Percentage of total down-regulated genes identified in the Gene Ontologies (Biological Process) of ventricle (a), red muscle (b) and white muscle (c).

vliv aklimatizace k chladu (20° vs 15°C)

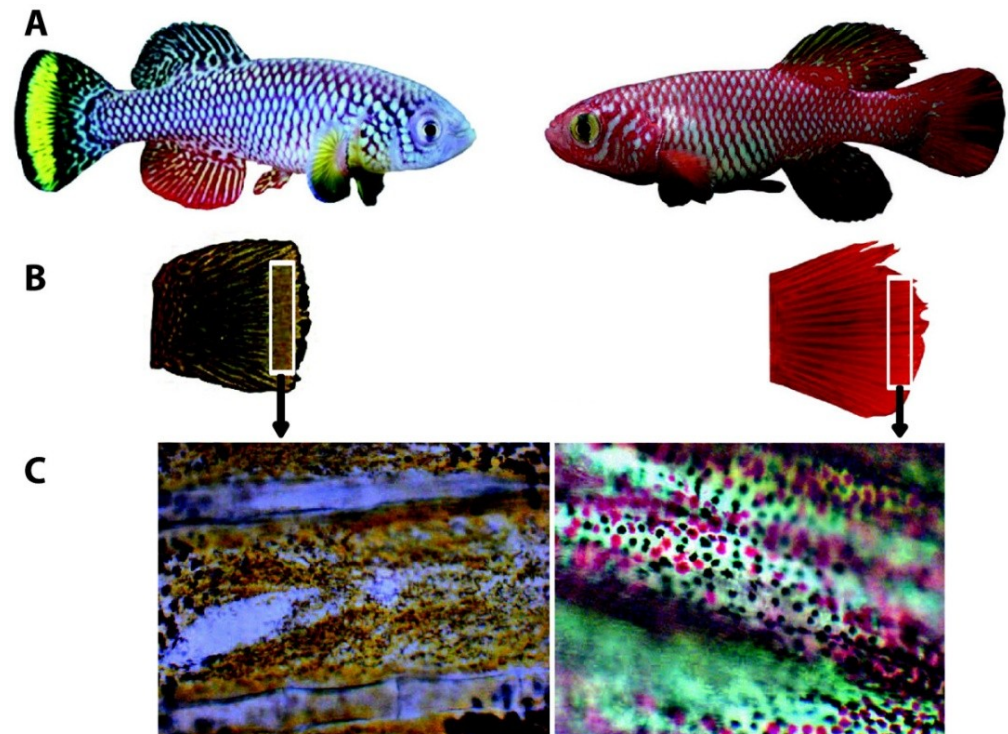
RESEARCH ARTICLE

Open Access

Transcriptome profiling of natural dichromatism
in the annual fishes *Nothobranchius furzeri* and
Nothobranchius kadleci

Enoch Ng'oma¹, Marco Groth¹, Roberto Ripa², Matthias Platzer¹ and Alessandro Cellerino^{1,2*}

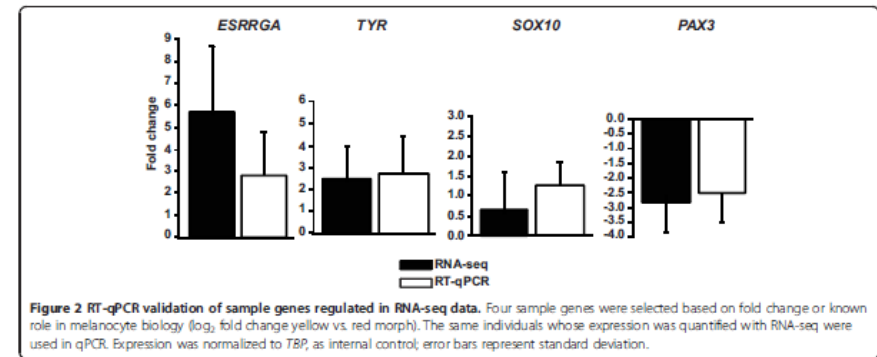
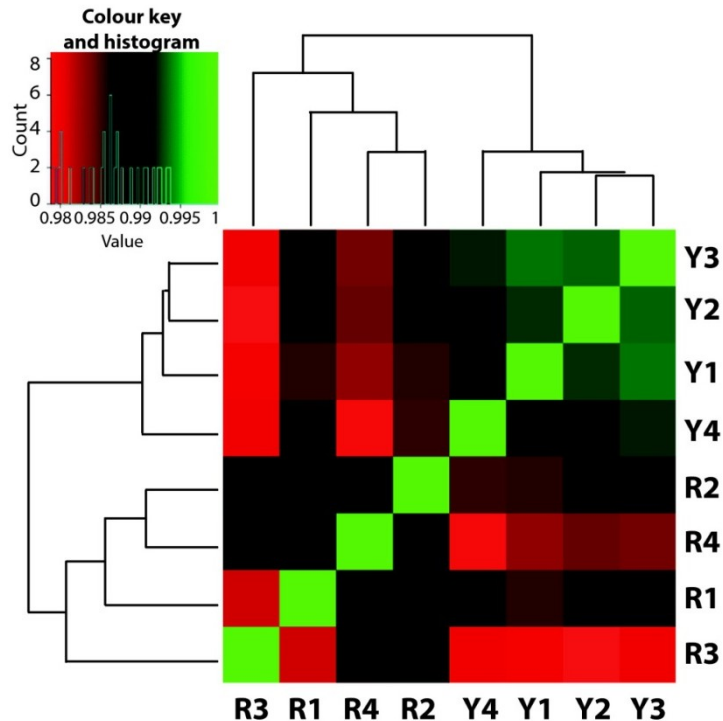
- cca 334 miliónů sekvencí („reads“); 42 mil./sample
- 210 DEGs („differentially expressed genes“) - 119 up-regulated, 91 down-regulated u žlutých jedinců



xanthophory

melanophory
erythrophory

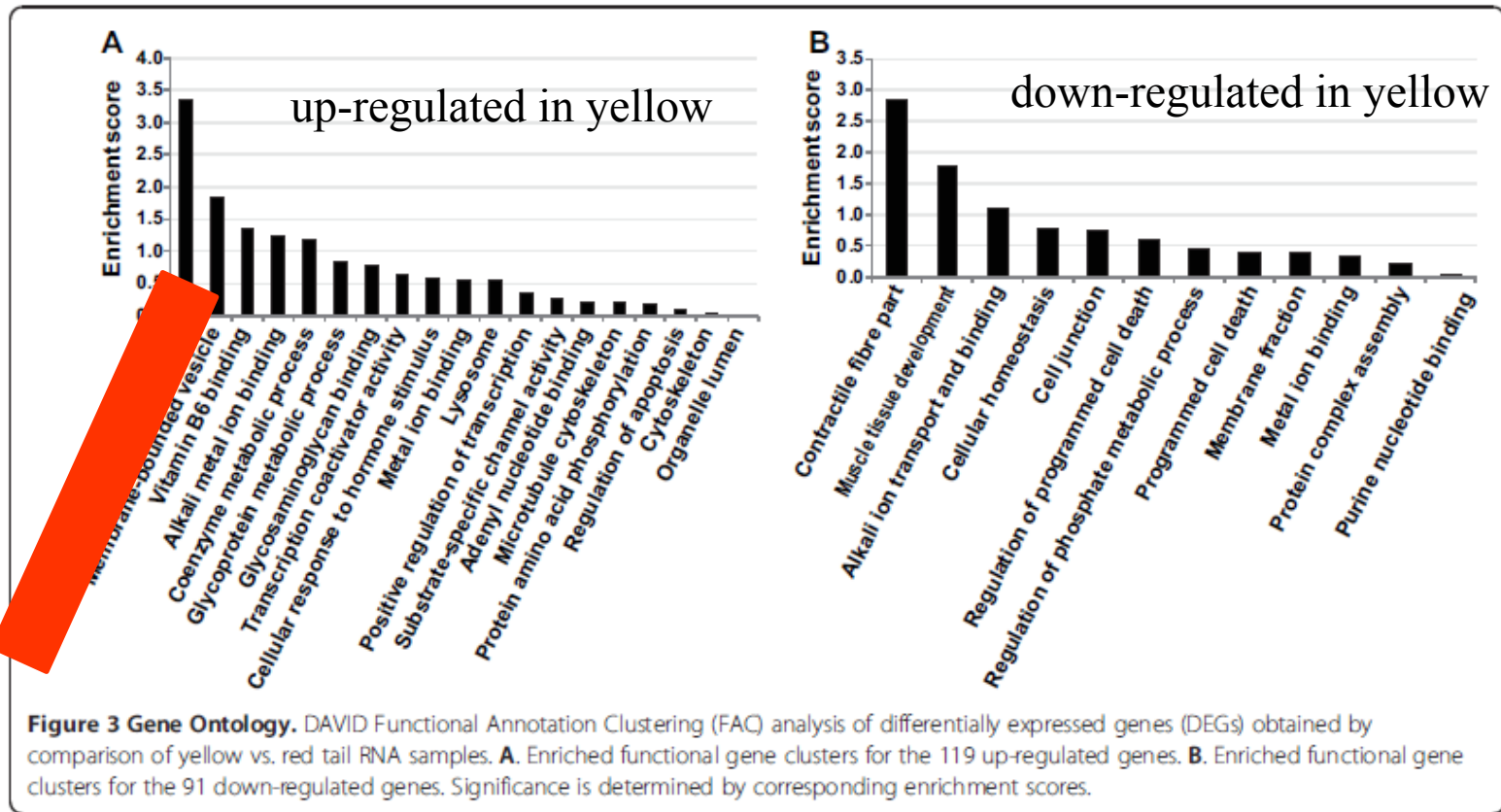
Konzistence výsledků



- změny v expresi jdou stejným směrem u RNA-seq i RT-qPCR vybraných genů

- hierarchical clustering of expression level
- „žlutí“ a „červení“ jsou si navzájem podobní

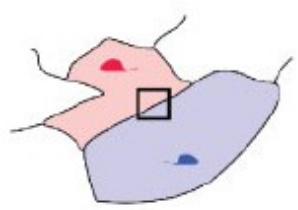
Functional annotation clustering (= gene ontology)



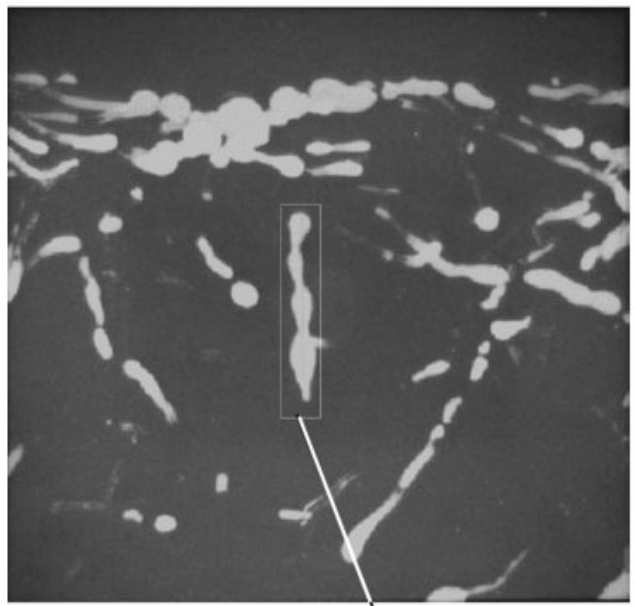
- xanthophory u žlutých jedinců jsou asociovány s melanogenezí
- v dalším kroku je možné studovat roli jednotlivých kandidátních genů

Závěr

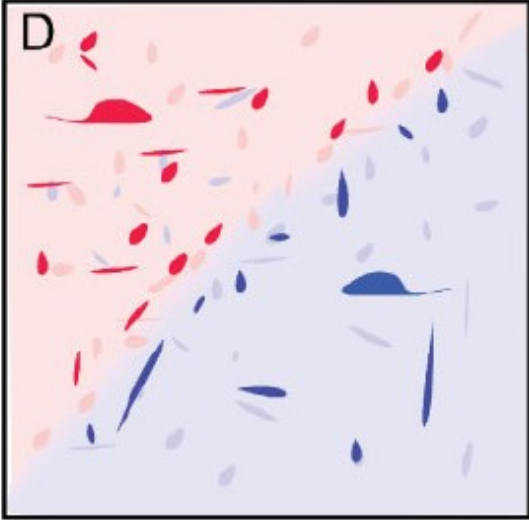
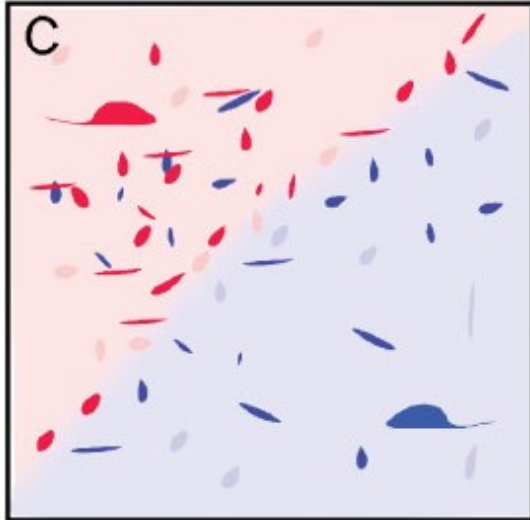
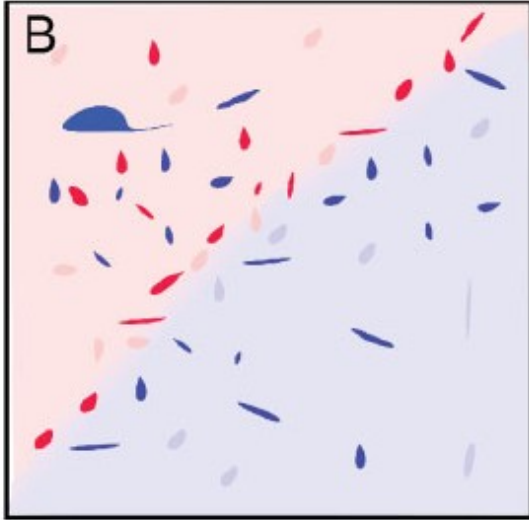
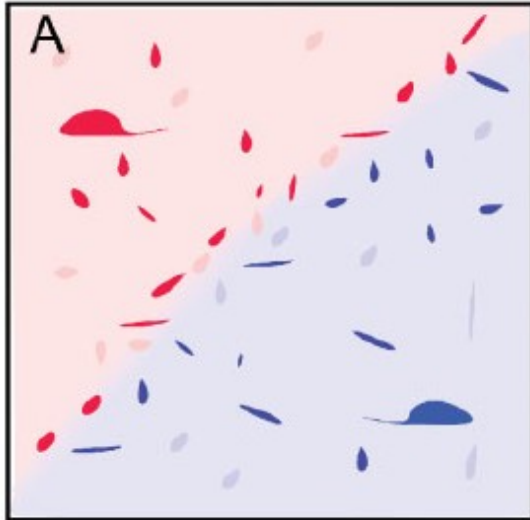
- Molekulární ekologie se rychle vyvíjí
- Metody se zásadně vylepšují a mění
- Co platilo dnes, nemusí platit zítra - těšme se tedy na zítřek



15cm



Urine streak presented as stimulus



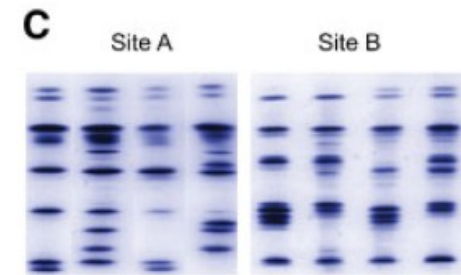
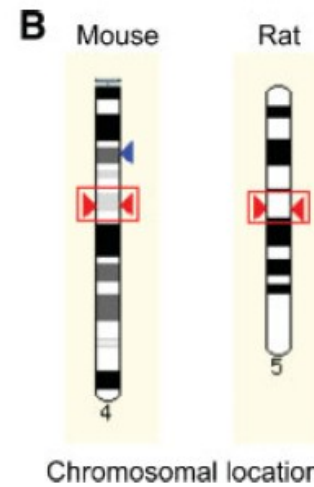
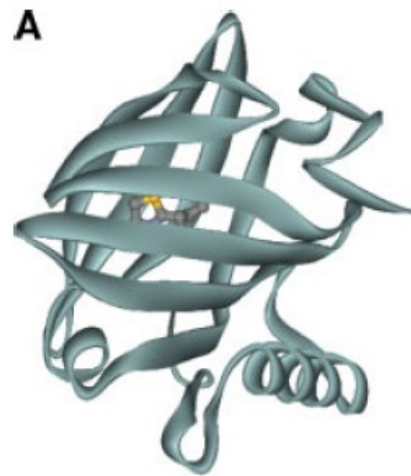
Mus musculus

Značení teritorií pachovými značkami (kapky moči)

Přeznačkování

V moči proteiny vážící volatilní molekuly

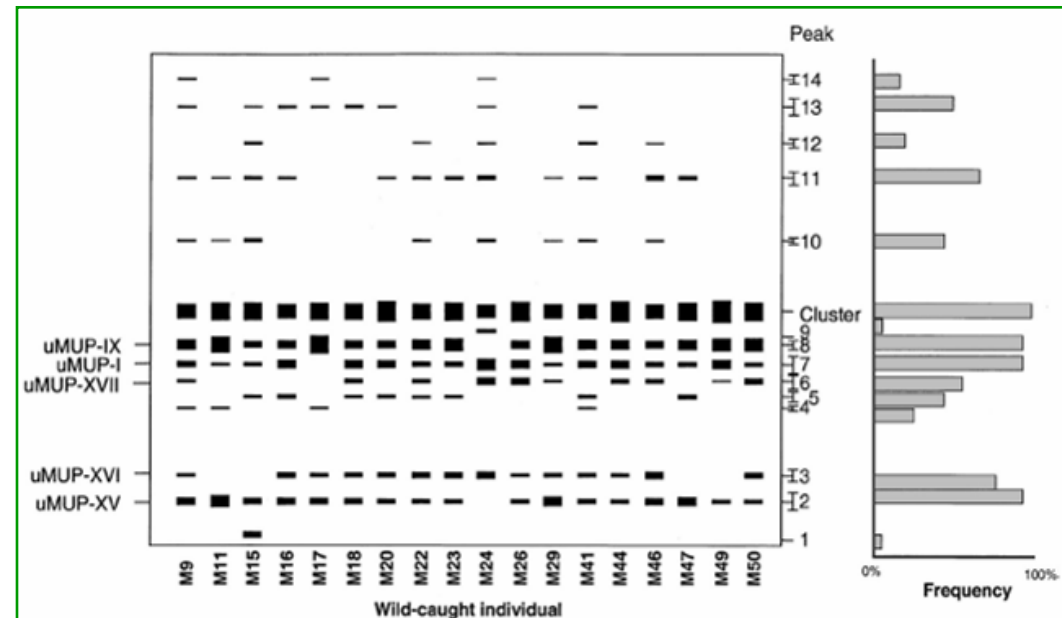
MUPs



Urine samples from individual wild-caught male mice

Major Urinary Proteins - komplex velmi podobných genů

- Obtížně se studují (isoelektrická fokusace)
- Různé alely
- Navíc různá míra exprese
- → individuální profil
- Čárový kód jedince

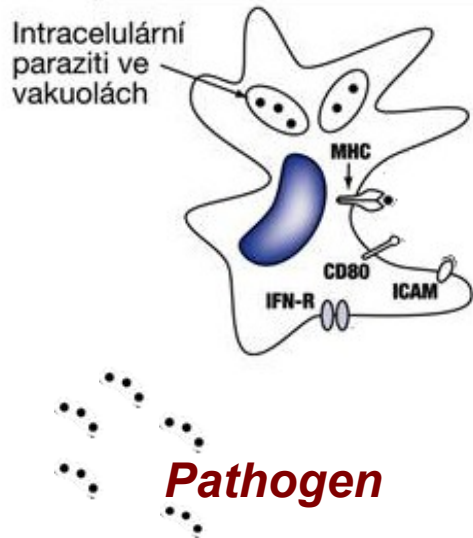


Major histocompatibility complex (MHC)

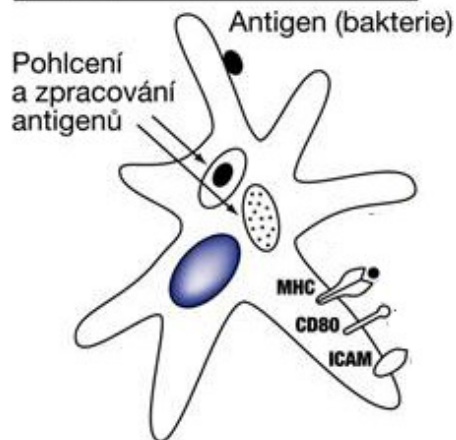
= adaptivní imunitní odpověď u čelistnatých obratlovců

Antigen-specifická imunitní odpověď

INFIKOVANÝ MAKROFÁG

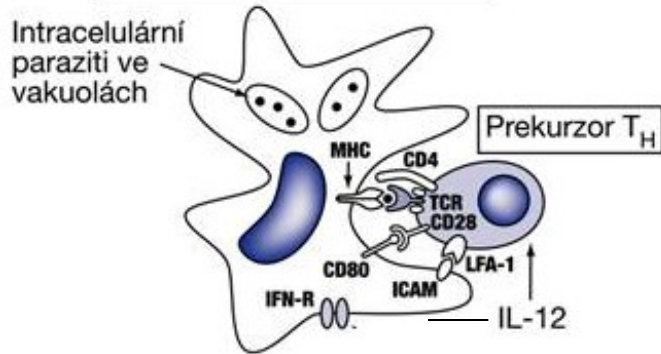


APC (DENDRITICKÁ BUŇKA)

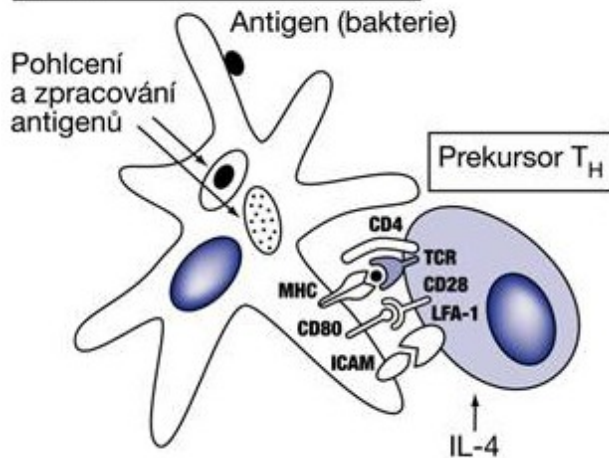


Antigen-specifická imunitní odpověď

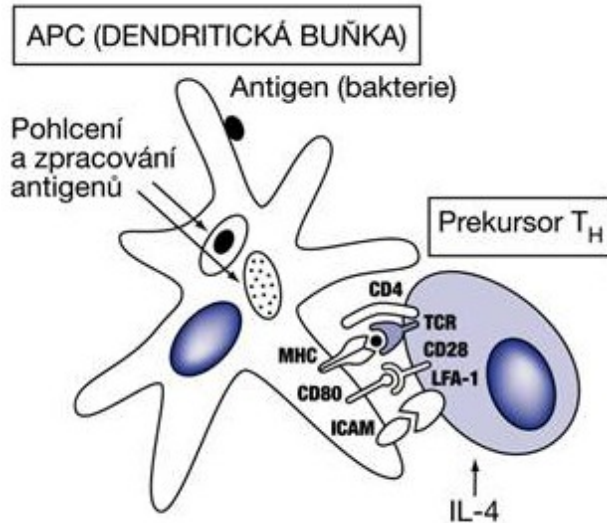
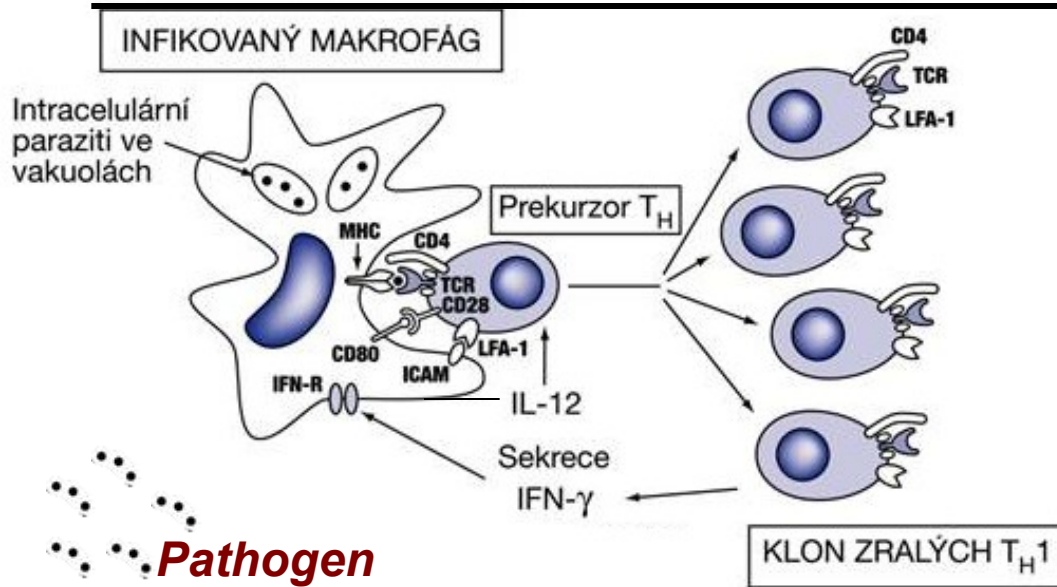
INFIKOVANÝ MAKROFÁG



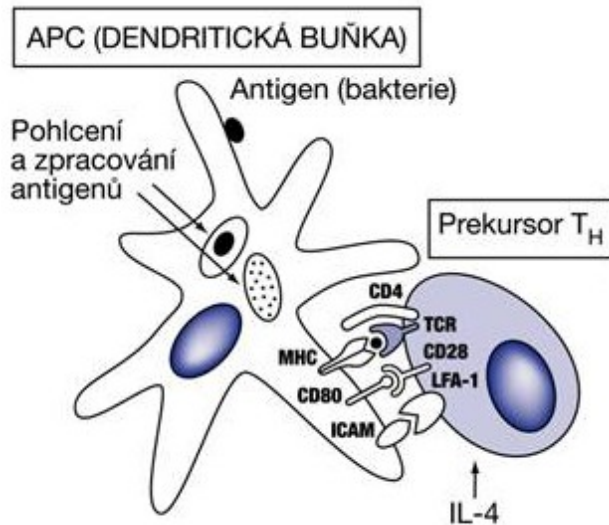
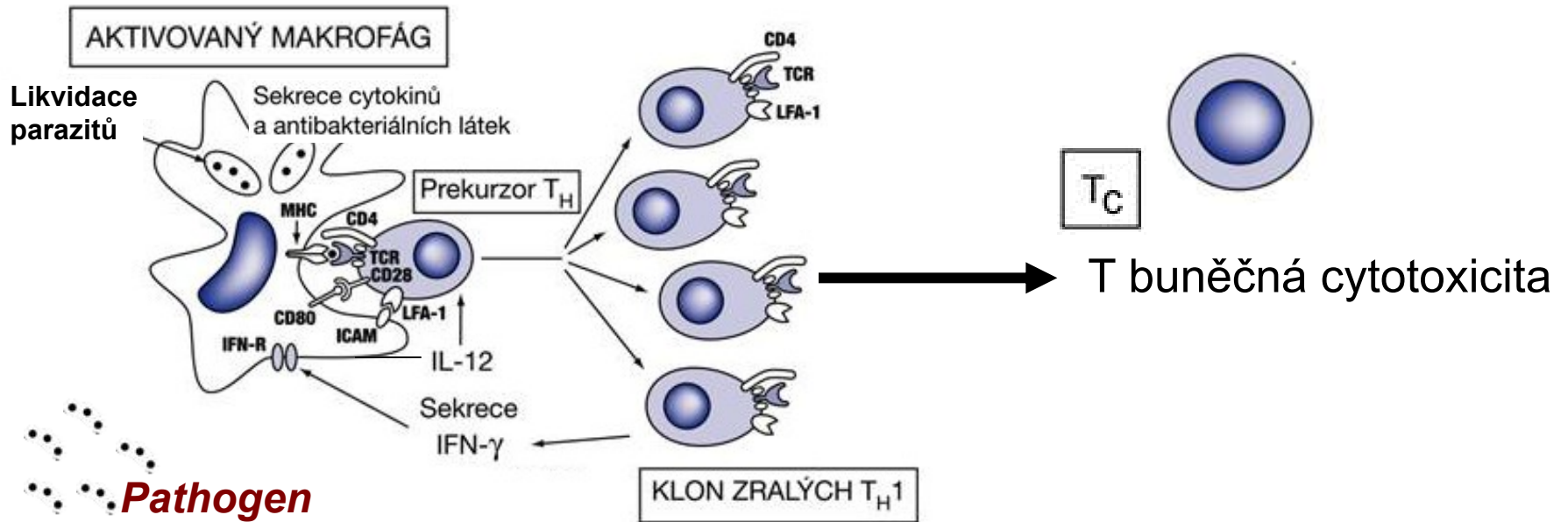
APC (DENDRITICKÁ BUŇKA)



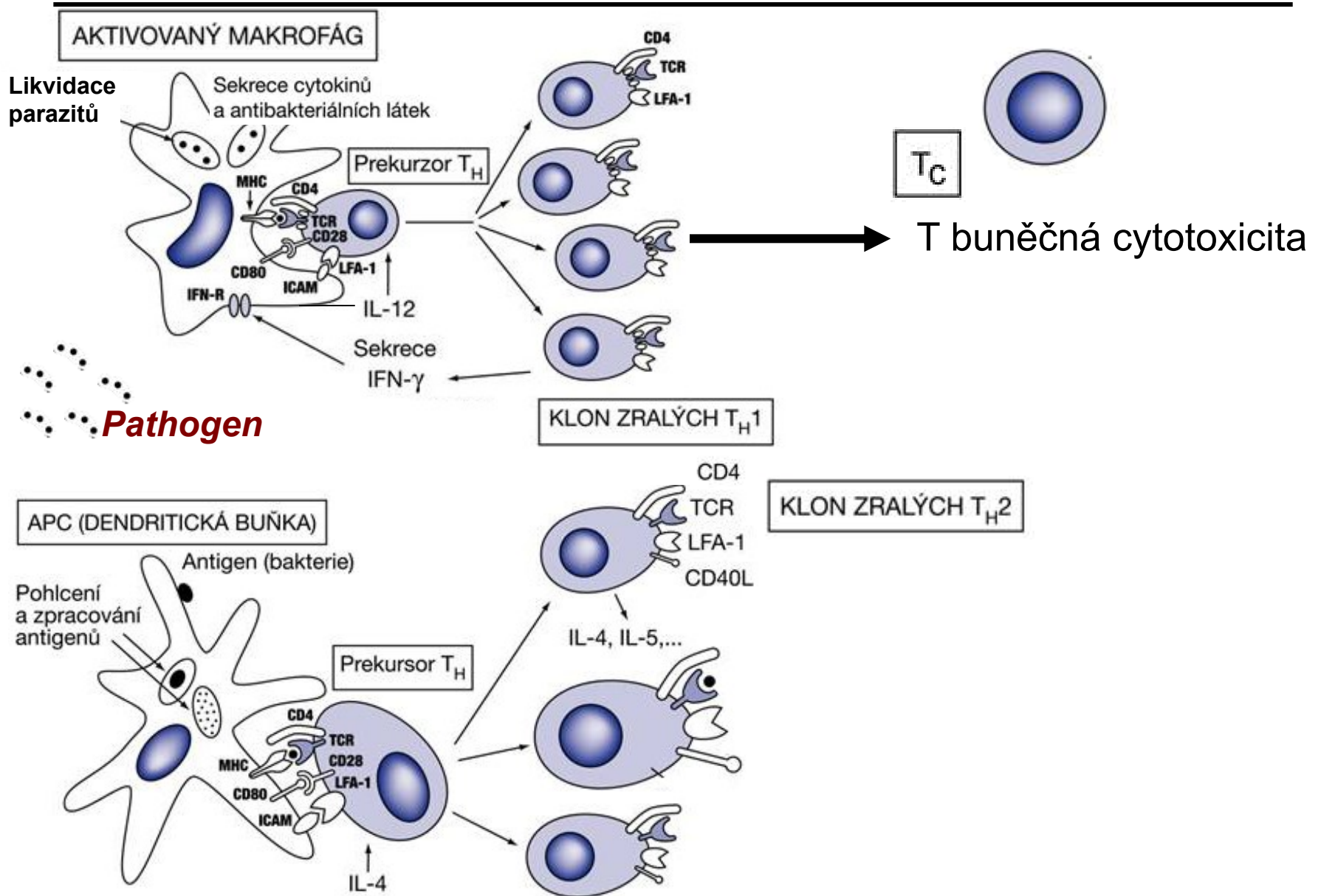
Antigen-specifická imunitní odpověď



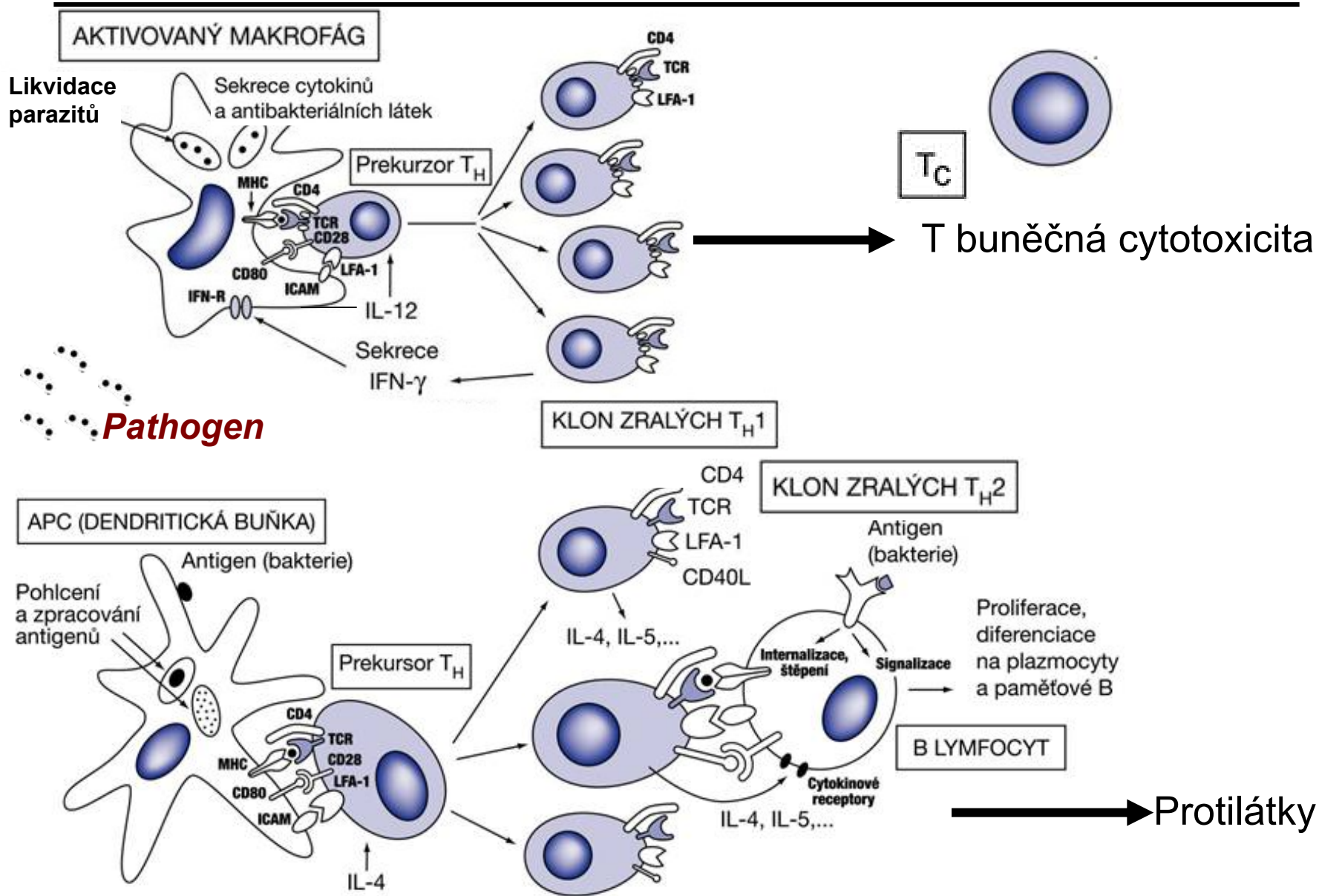
Antigen-specifická imunitní odpověď



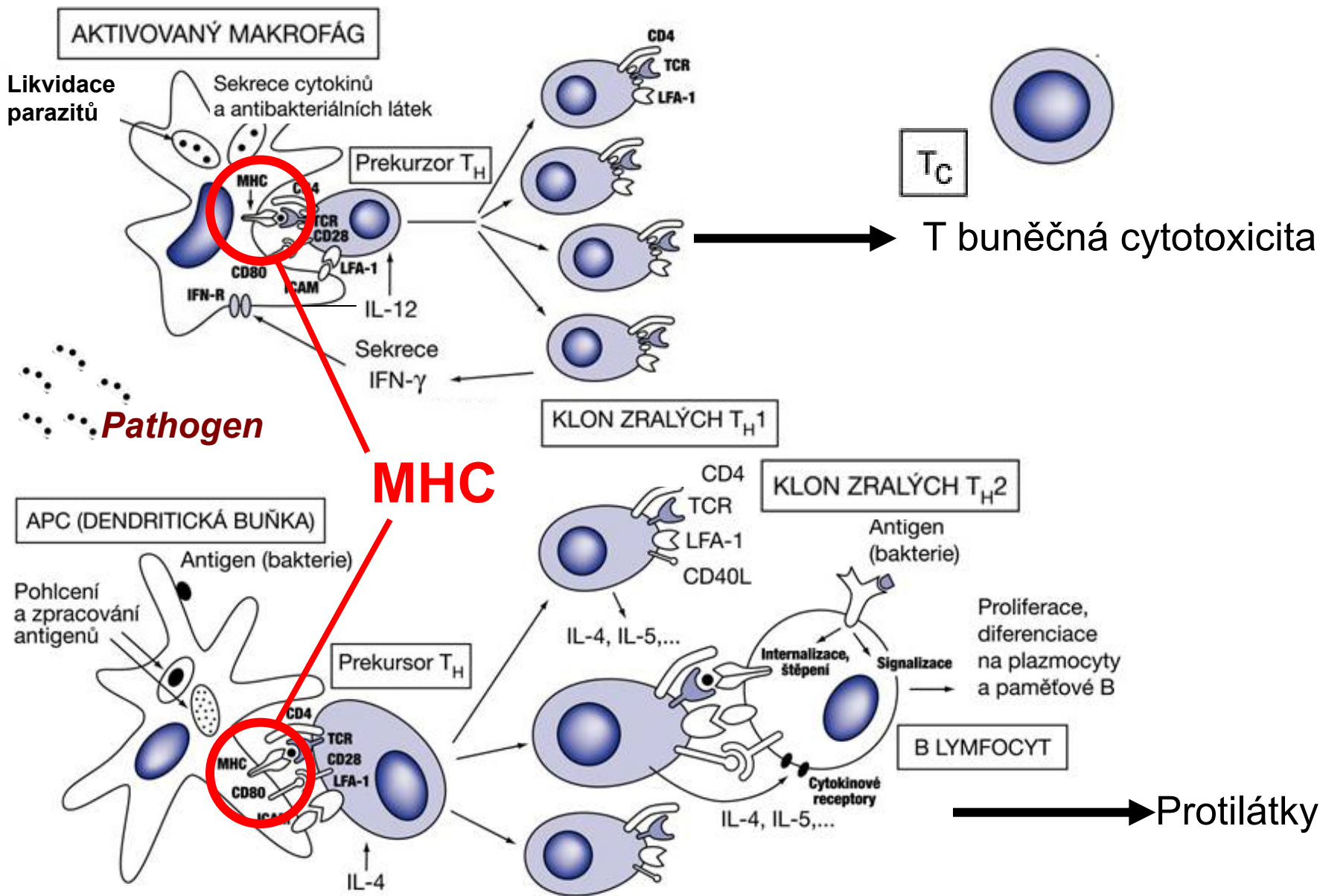
Antigen-specifická imunitní odpověď



Antigen-specifická imunitní odpověď

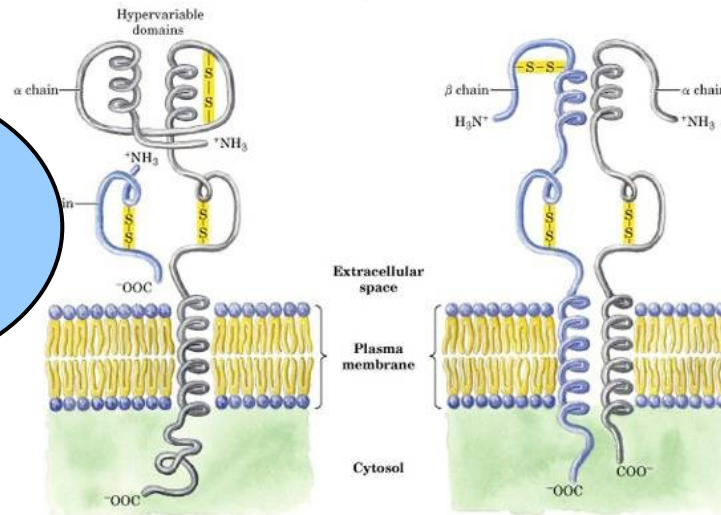


Molekulární ekologie: Kdo a jak rozpozná parazita ?



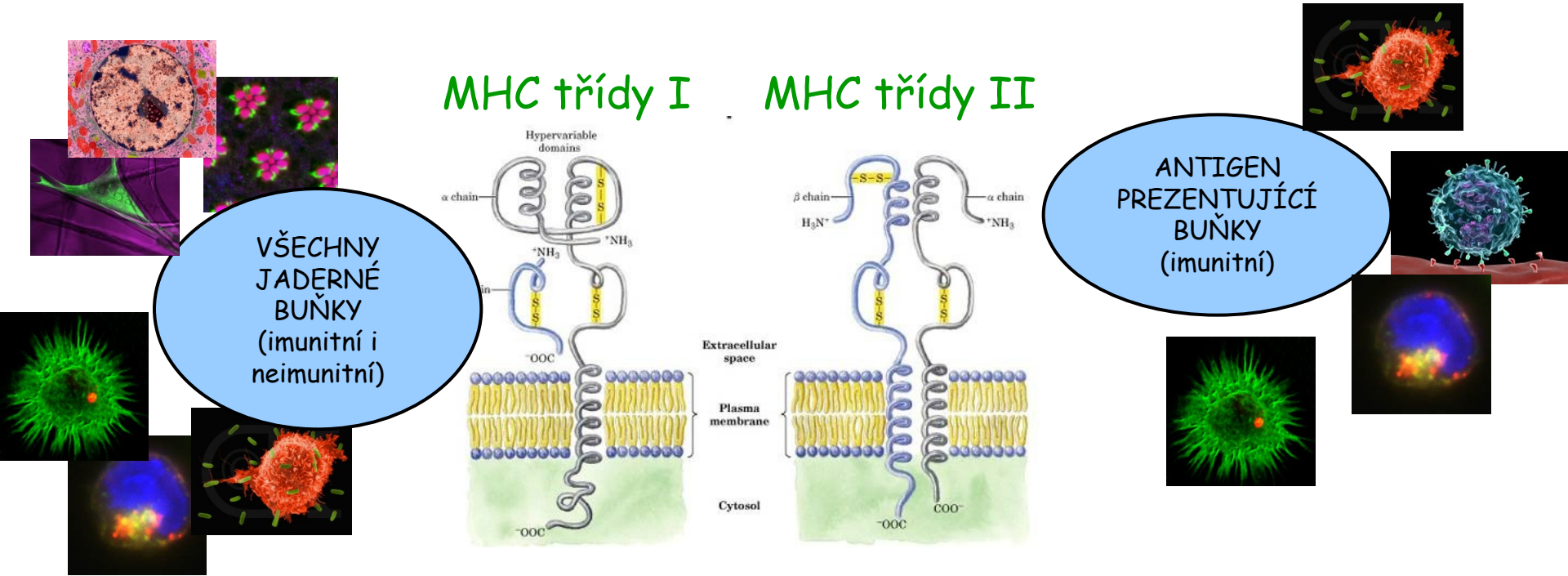
Major histocompatibility complex (MHC)

MHC třídy I MHC třídy II

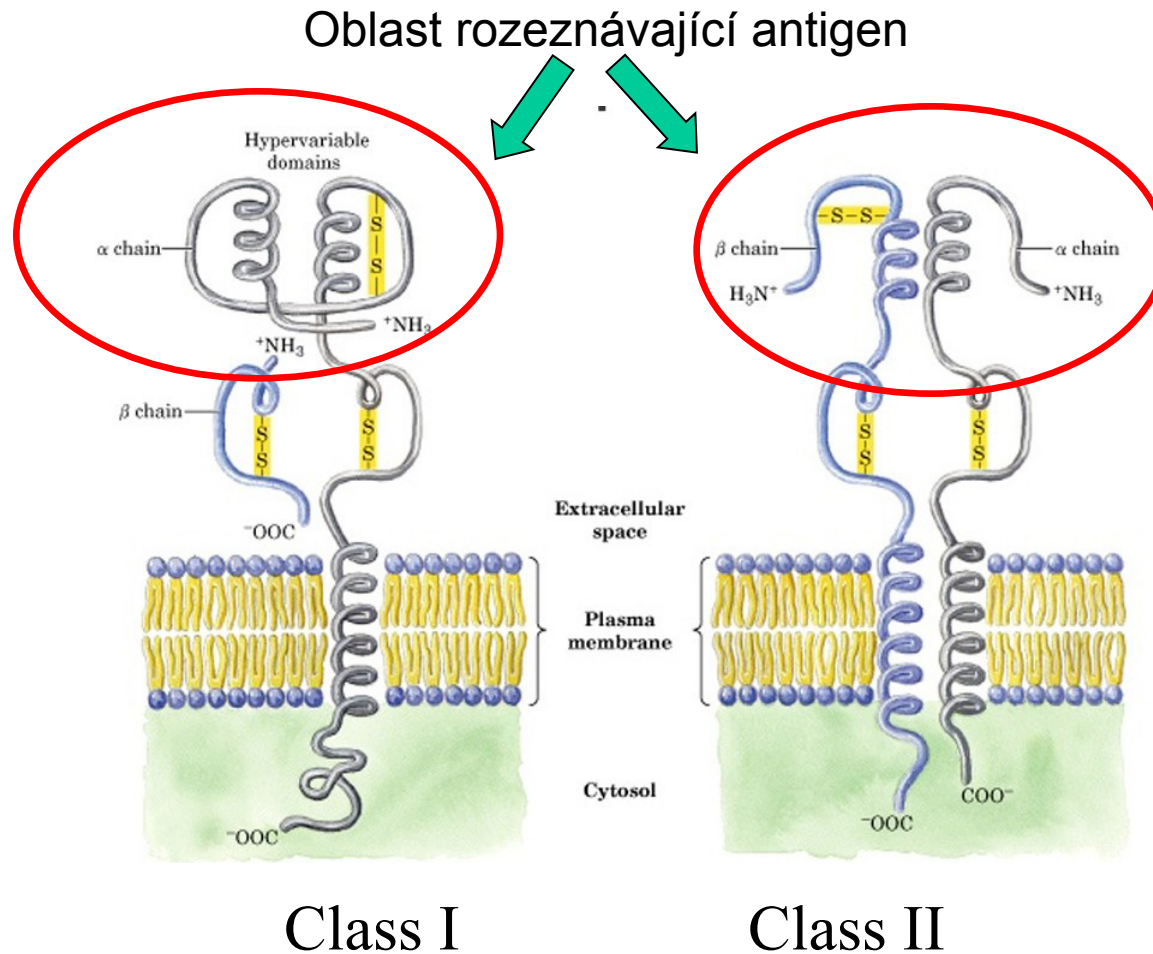


VŠECHNY
JADERNÉ
BUŇKY
(imunitní i
neimunitní)

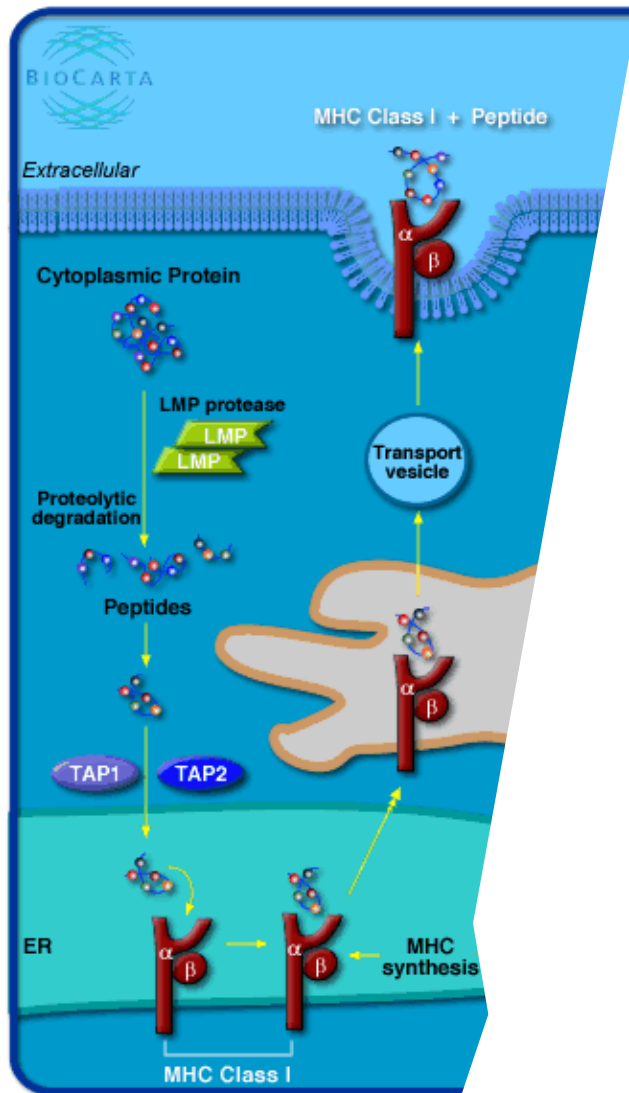
ANTIGEN
PREZENTUJÍCÍ
BUŇKY
(imunitní)



Major histocompatibility complex (MHC)



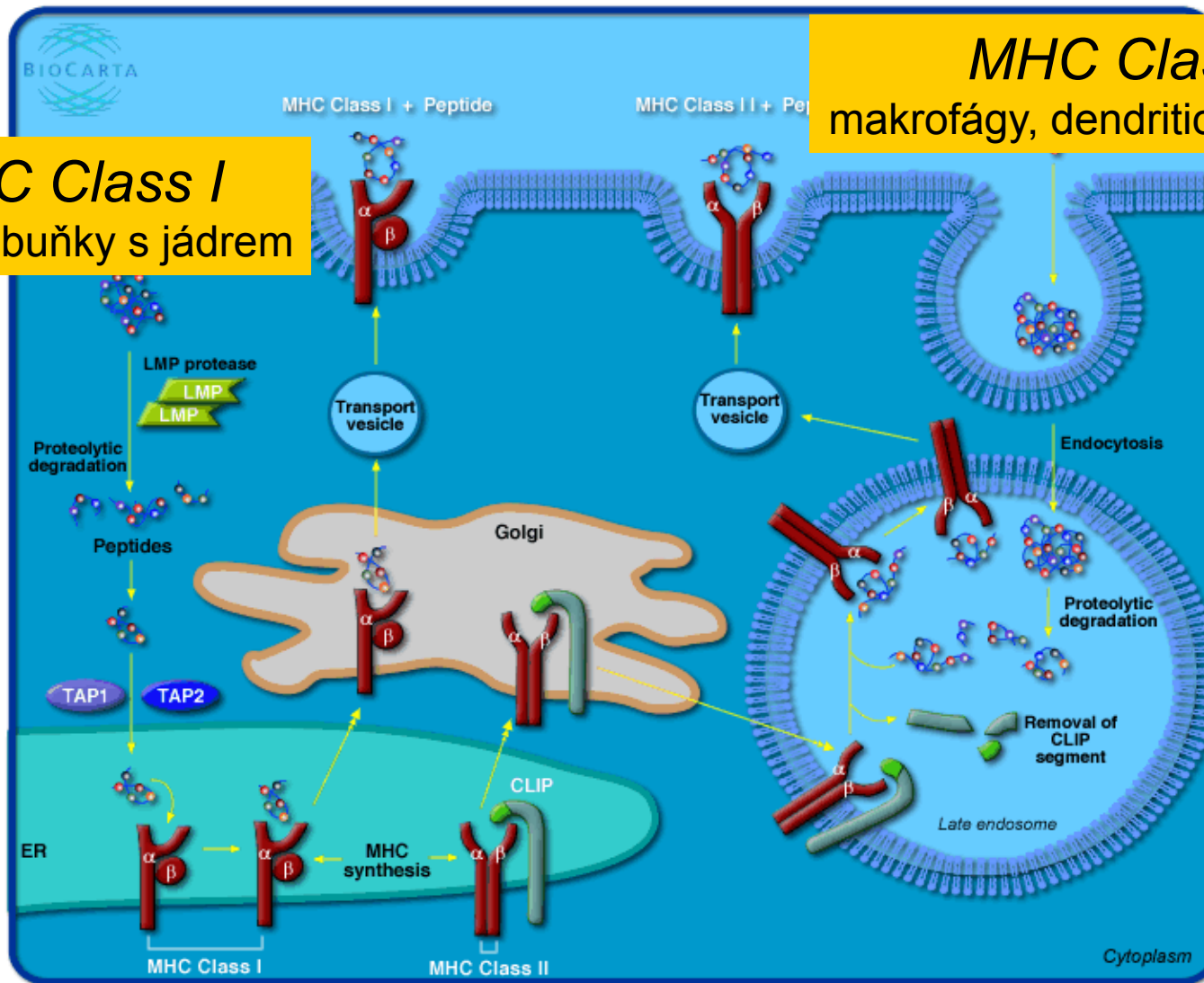
Funkce MHC: rozeznání a prezentace cizorodého antigenu



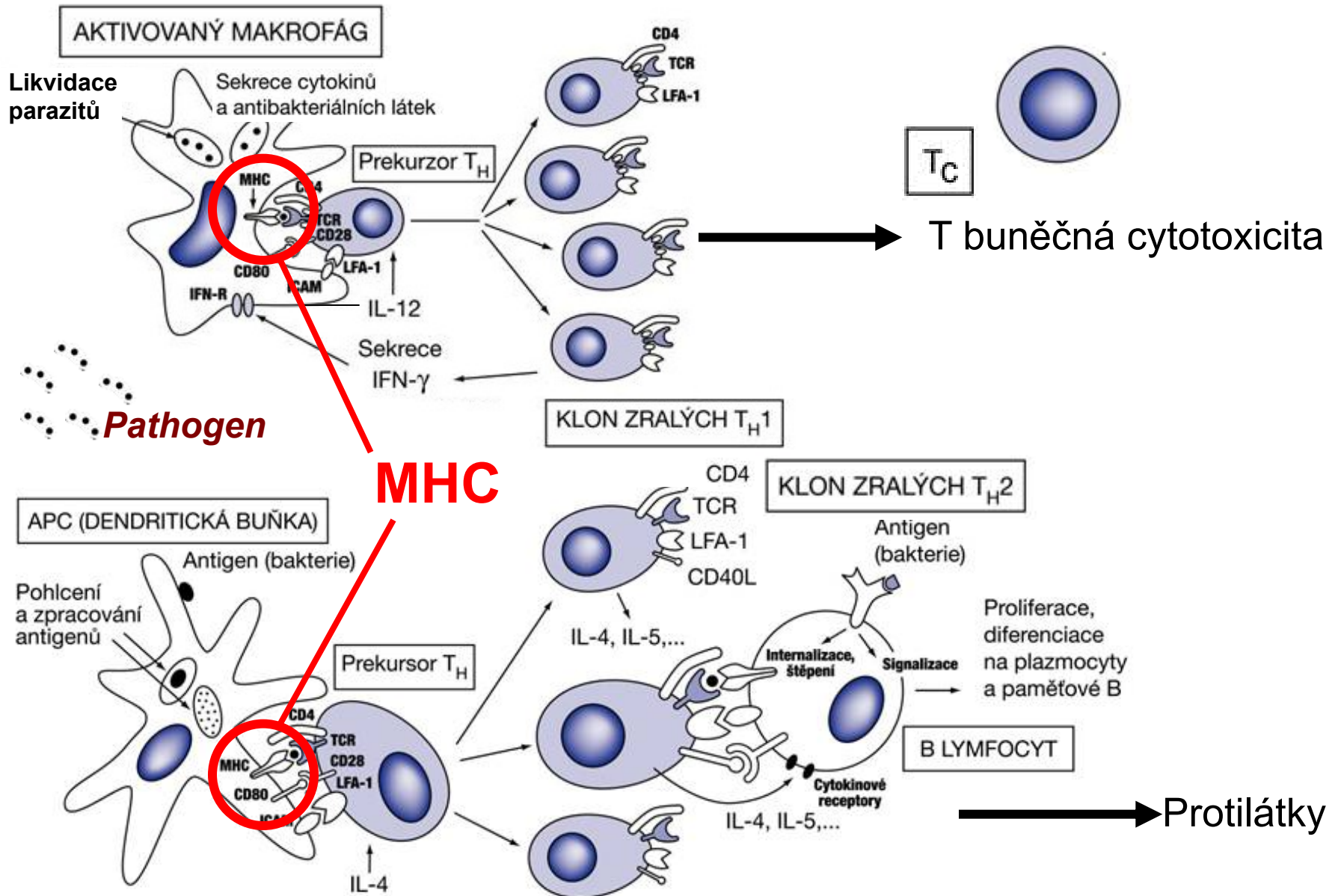
Funkce MHC: rozeznání a prezentace cizorodého antigenu

MHC Class I
všechny buňky s jádrem

MHC Class II
makrofágy, dendritické buňky aj.



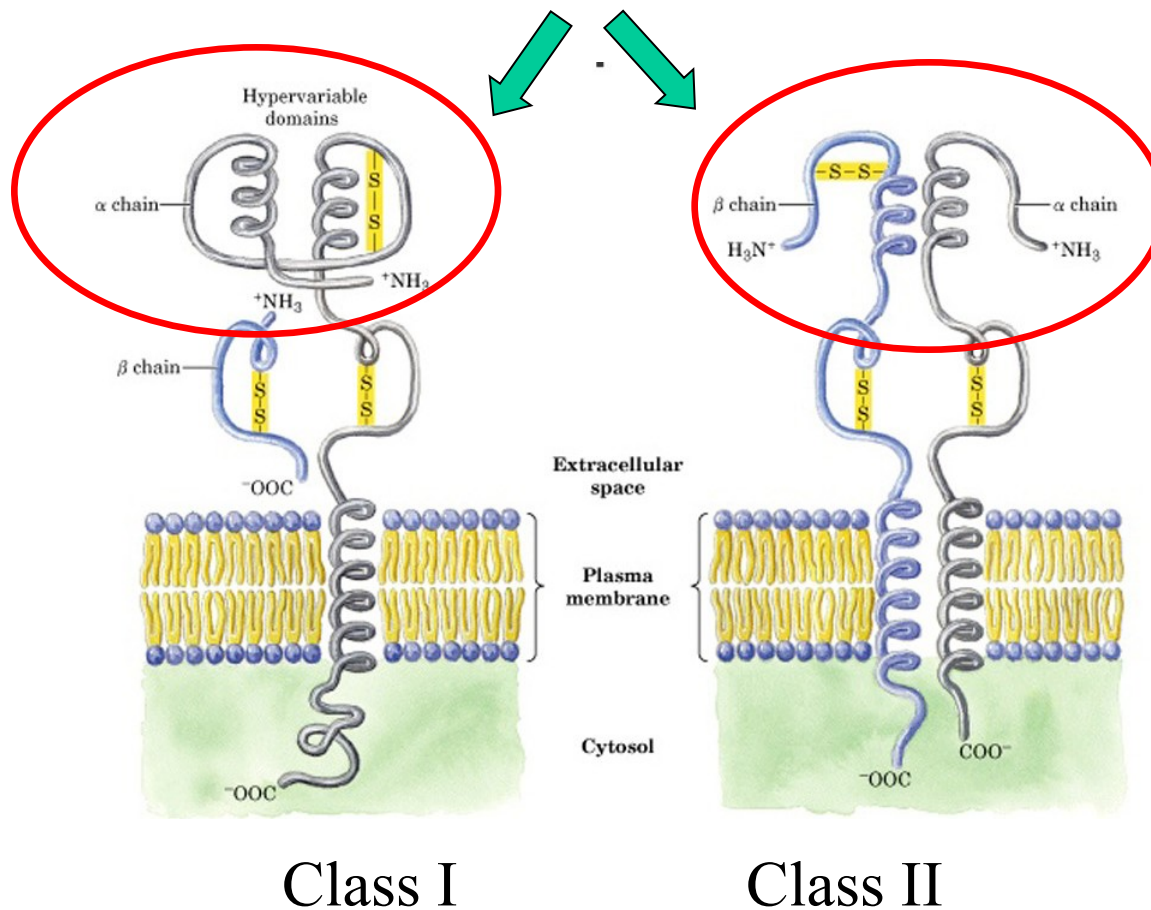
Buňka nabízející antigen spustí imunitní odpověď



Jak zjistit, že je MHC pod selekcí?

Major histocompatibility complex (MHC)

Oblast rozeznávající antigen (antigen-binding sites = ABS)



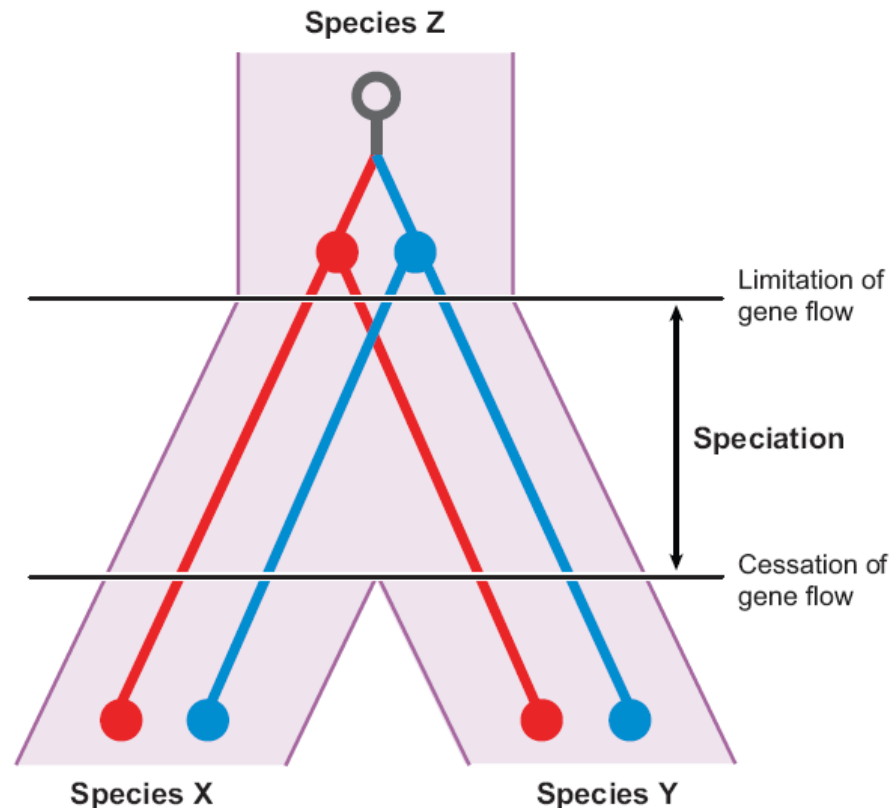
Je variabilita MHC důsledkem přírodního výběru?

Pozitivní selekce - vytvoření a udržení velkého množství funkčních variant

Trans-species polymorfismus

- výhodné alelické linie
přetrvávají i po oddělení druhů =
detekce selekce fylogenetickou
analýzou

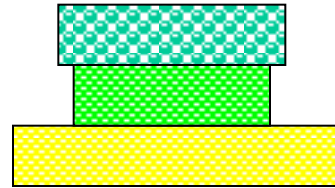
- „gene tree” vs. „species tree”



Fylogenetická analýza MHC sekvencí



MHC Class II, DQA gene, Exon 2
(Neighbour Joining Tree)



Mus

Rattus



Pozitivní historická selekce na MHC Class II

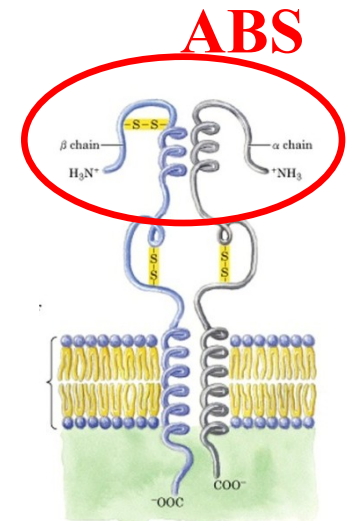
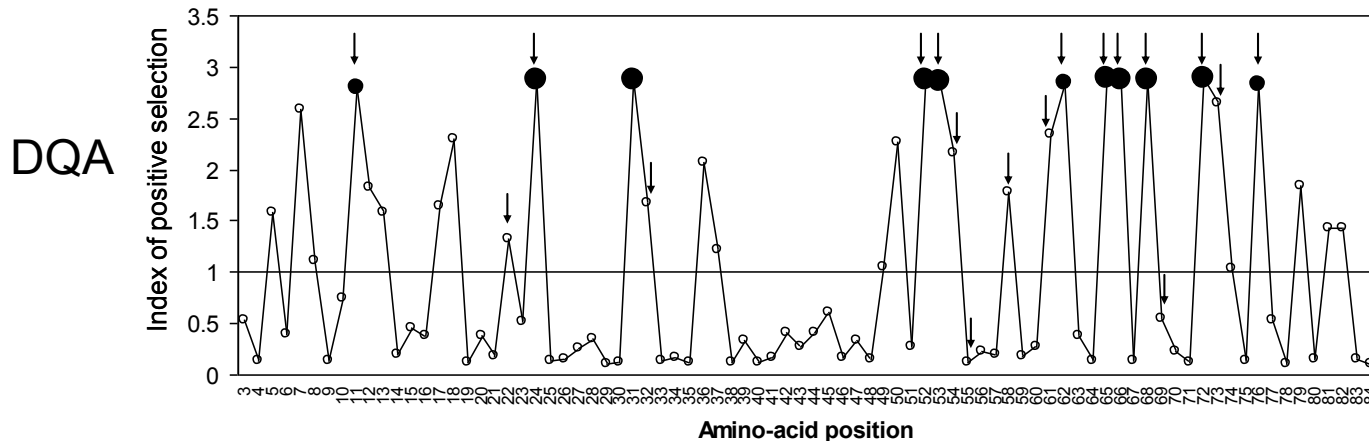
- 1) Poměr nesynonymních a synonymních mutací (dN/dS) na různých pozicích MHC molekuly



špatně určená pozice ABS (?)

dN/dS	ABS	Non ABS
DRB	5.25	3.00
DQA	3.16	0.33

- 2) Detekce aminokyselin pod pozitivní selekcí - Bayesian modelling (CodeML)



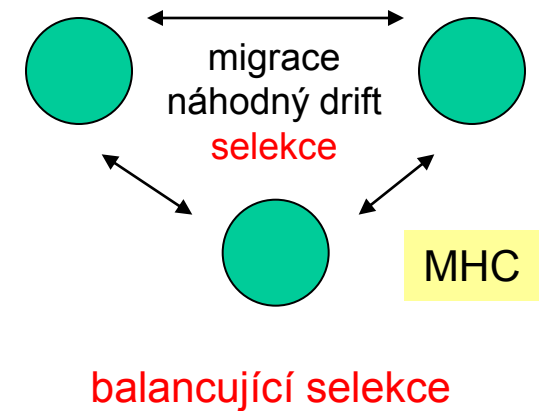
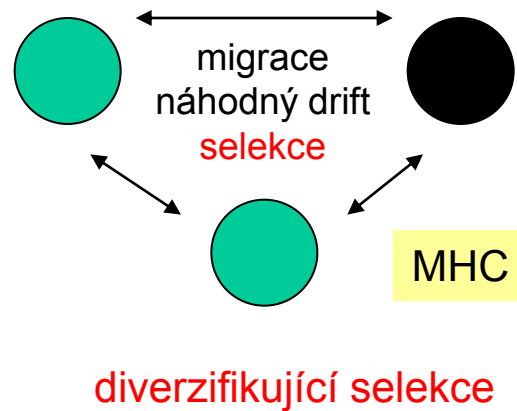
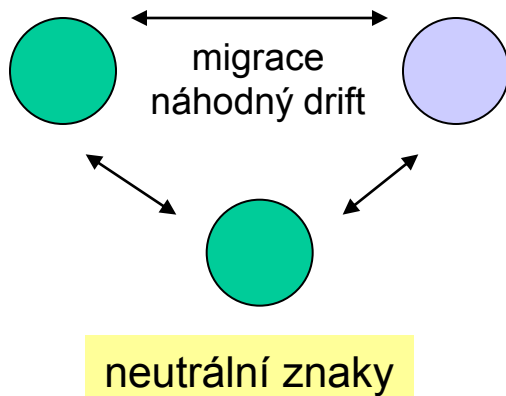
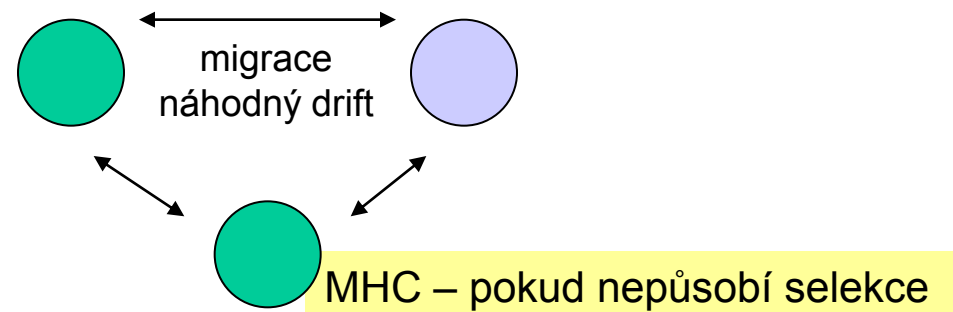
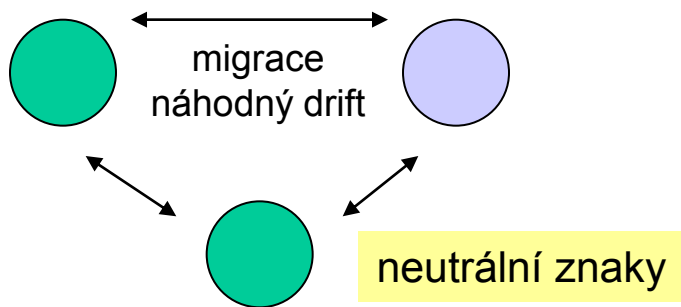
Šipky ukazují ABS místa identifikovaná na základě krystalografického modelu DQA proteinu u myši

Důkaz a mechanismus recentní selekce

- Srovnání populačně-genetické struktury na MHC genech a neutrálních znacích (mikrosatelity)
- Asociace MHC genů a výskytu parazitů

1) Analýza populačně-genetické struktury

- Srovnání populačně-genetické struktury na MHC genech a neutrálních znacích (mikrosatelity)

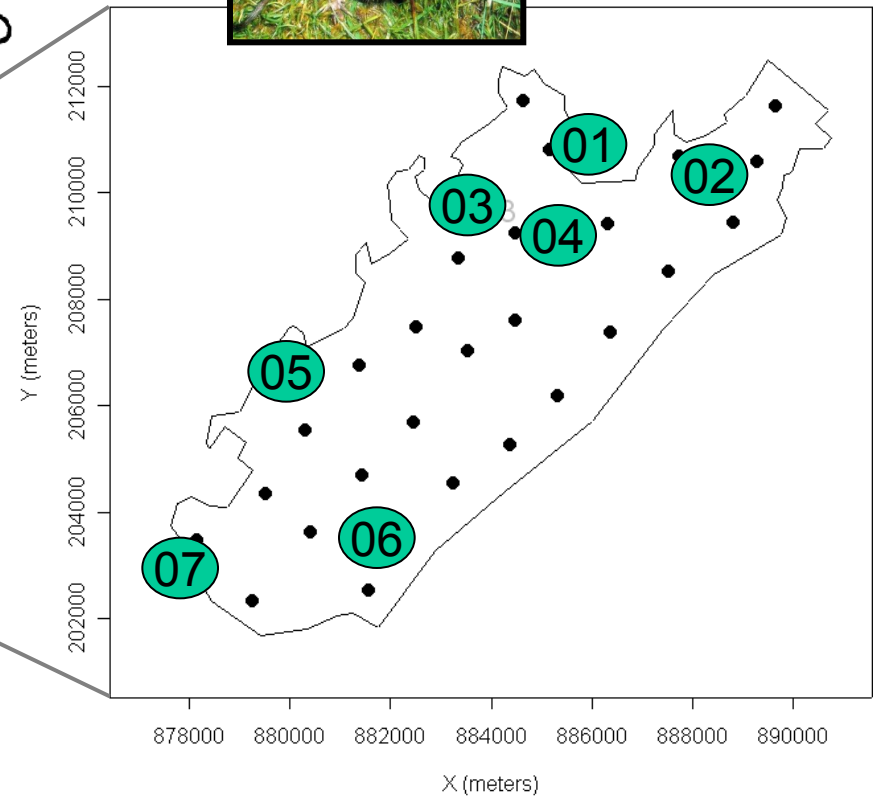
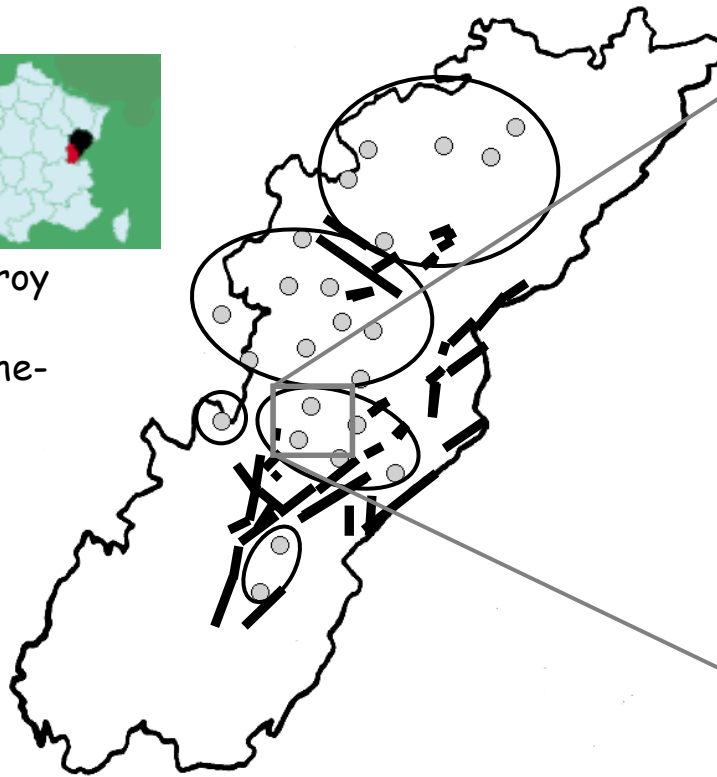


Důkaz přírodního výběru v současnosti: analýza populačně-genetické struktury

- Srovnání neutrálních znaků a MHC

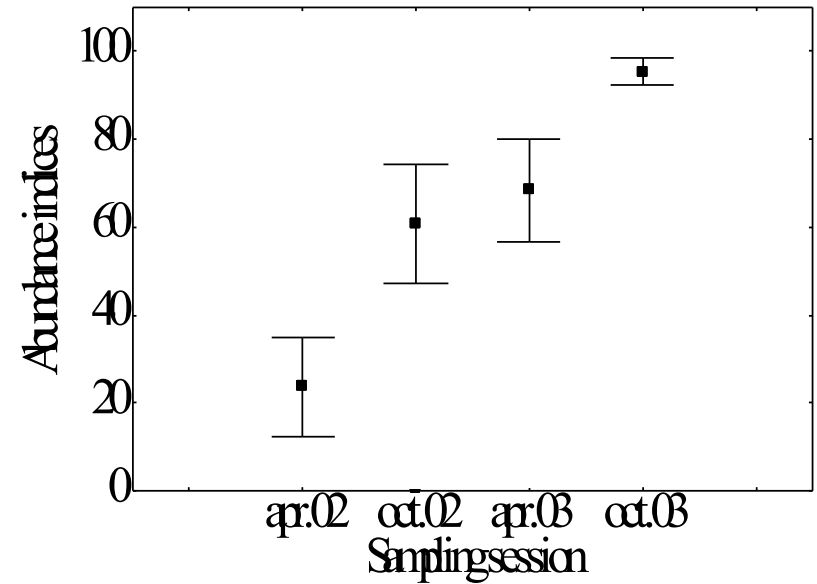
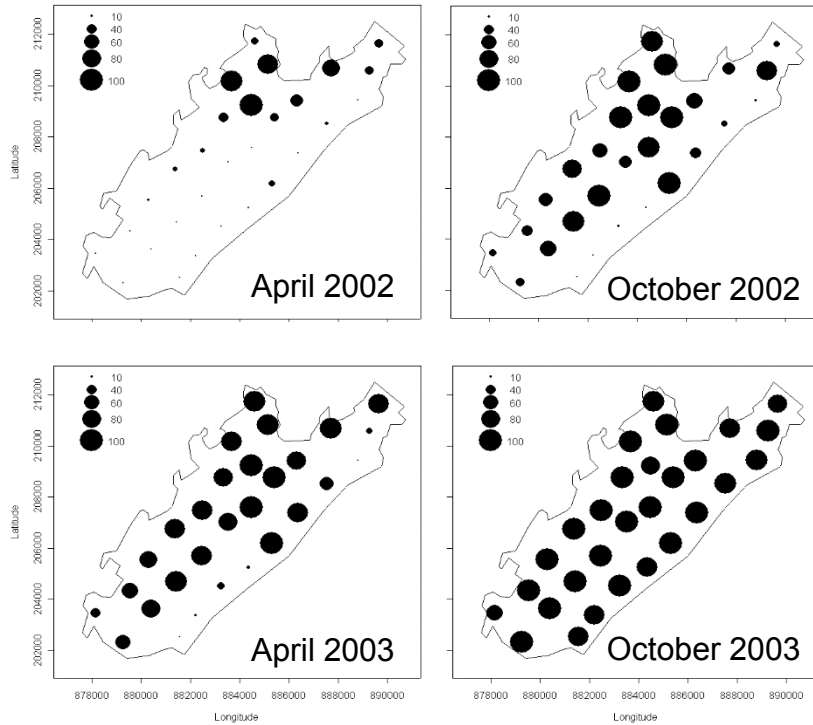


Canton Nozeroy
(pohoří Jura,
région Franche-
Comté)

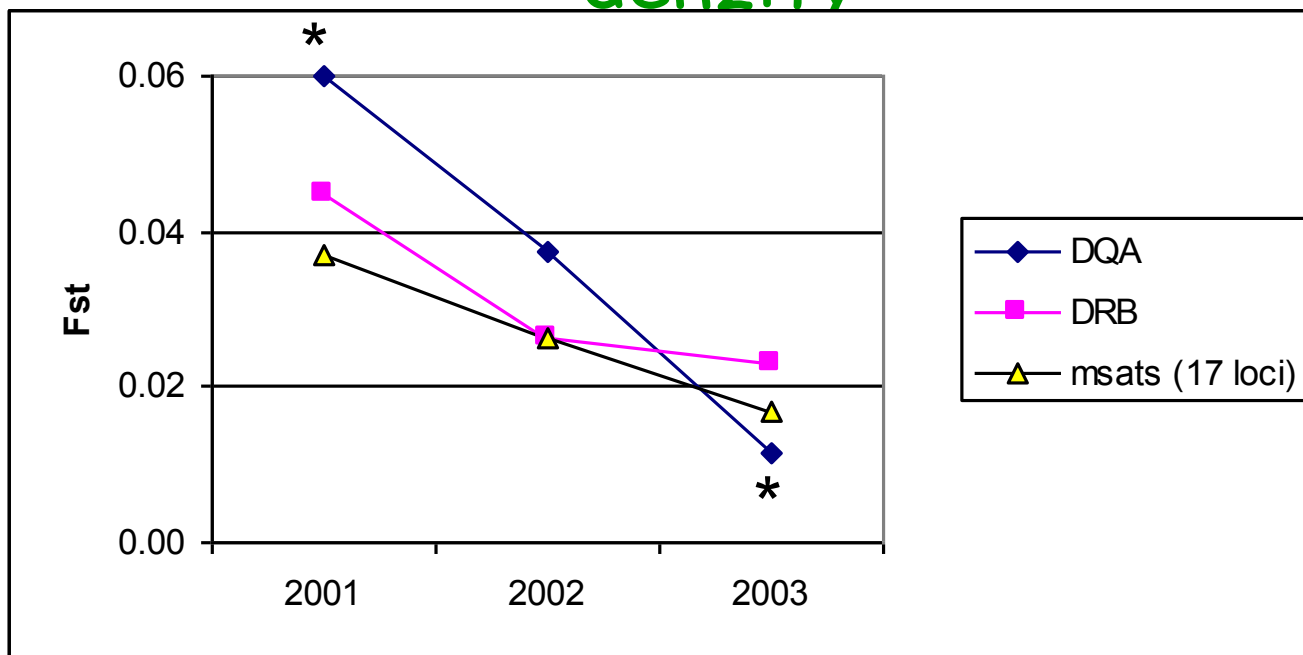


Studované lokality - 7 populací ve
stejně fázi populačního cyklu

→ 2001-2003: fáze růstu populační hustoty



Diferenciace populací v průběhu růstu denzity

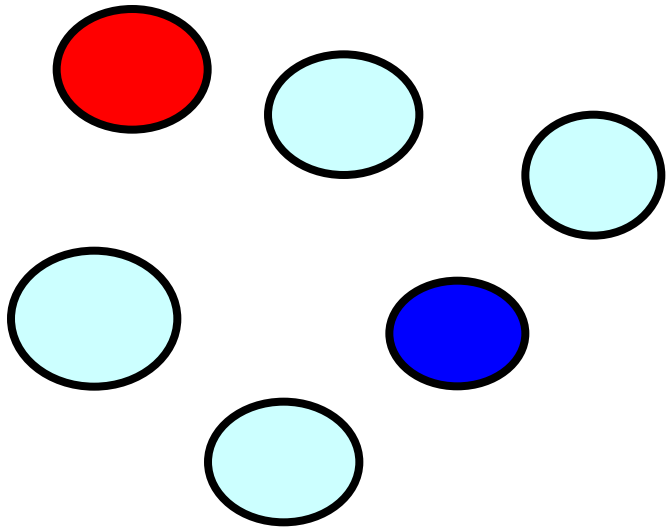


* Signifikantní rozdíl DQA1 vs. mikrosatelity

Pokles diferenciace s nárůstem denzity (nárůst disperze, tj. toku genů)

MHC (zejména DQA1) - signifikantně odlišné od mikrosatelitů

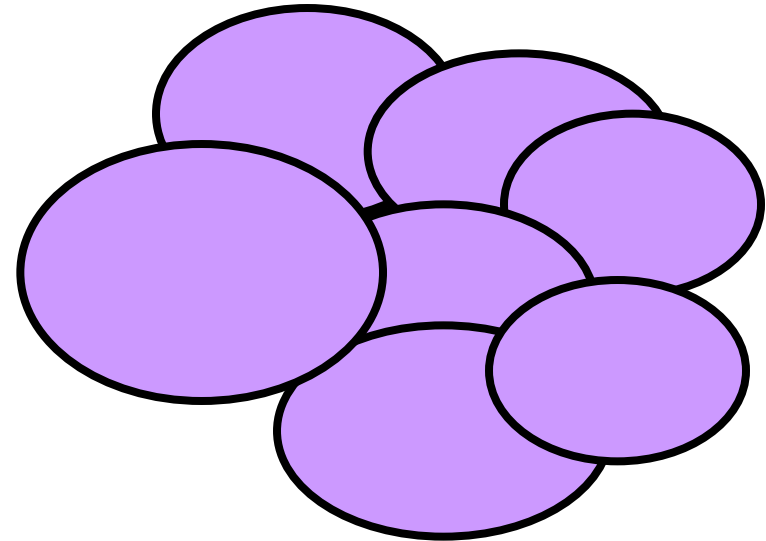
Závěr: Typ selekce na MHC závisí na početnosti populace



Nízká denzita

Lokální rozdíly ve
společenstvech patogenů

**Lokální diverzifikující
selekce**



Vysoká denzita

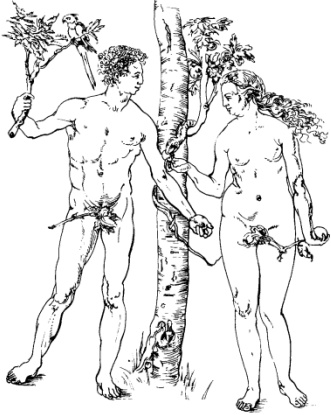
Nárůst diverzity
parazitů v důsledku
disperze

Balancující selekce

Jaké jsou mechanismy přírodního výběru pro udržení vysoké variability MHC?

- Hypotéza výhody heterozygotů (= „overdominance hypothesis“)
- Výhoda vzácné alely (= selekce negativně závislá na frekvenci)

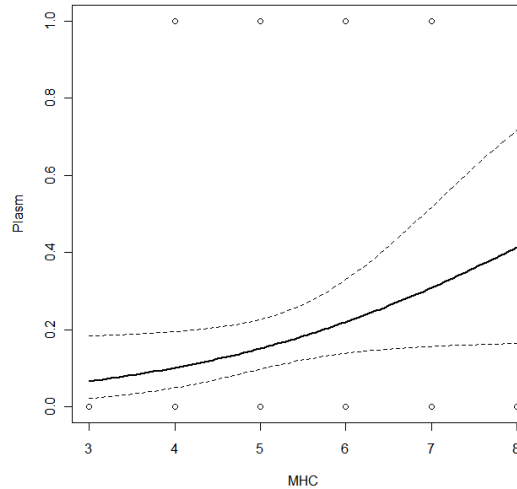
Výhoda heterozygotů - mají 2x více alel než homozygoti, tj. mohou rozeznávat 2x více patogenů



- Člověk - rychlost vývoje • onemocnění HIV nebo hepatitidy B je asociována s MHC heterozygotností
- Dva druhy ryb - heterozygoti mají vyšší přežívání při umělém vystavení virům a helmintům



Pravděpodobnost detekce ptačí malárie roste s počtem MHC alel - vysoká variabilita MHC = vysoká pravděpodobnost přežití akutní fáze



- Nejednoznačné výsledky v mnoha dalších příkladech
- Teoretické modely tuto hypotézu nepodporují ...

Výhoda vzácné (výhodné) alely

- Dynamická koevoluce mezi hostitelem a parazitem (= hypotéza „červené královny“) = **selekce negativně závislá na frekvenci**

Výhoda vzácné (výhodné) alely

Frekvence alely



Čas

Frekvence parazita



Čas

Výhoda vzácné (výhodné) alely

Frekvence alely

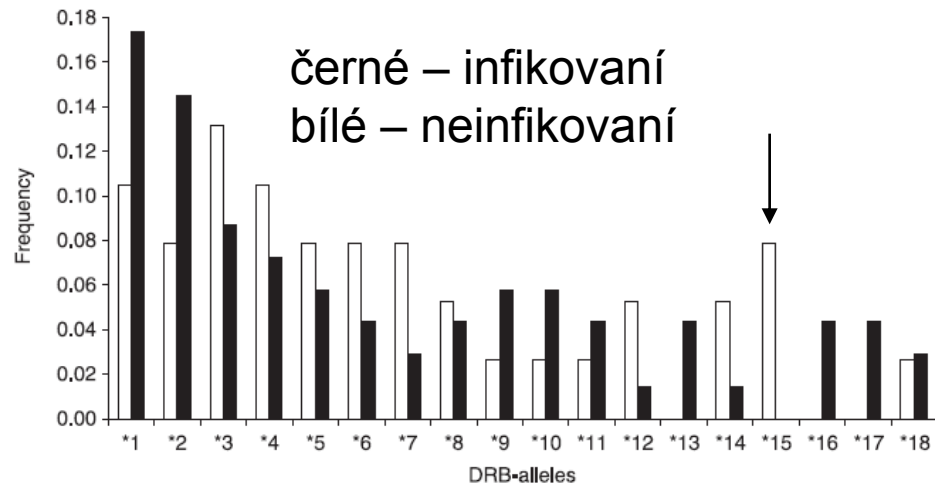
- Zdá se být pravděpodobnější než „výhoda heterozygotů“

- Nutno prokázat, že skutečně dochází k časovým změnám ve frekvenci alel a parazitů - **dlouhodobé studie neexistují !!!**

Frekvence parazita

Čas

Asociace MHC genů a parazitů



vajíčka Nematoda v trusu



Gerbillurus paeba
(Harf & Sommer, Mol. Ecol. 2005)



Microcebus murinus
(Schad et al., Evolution 2005)



Apodemus flavicollis
(Meyer-Lucht & Sommer, Mol. Ecol. 2005)

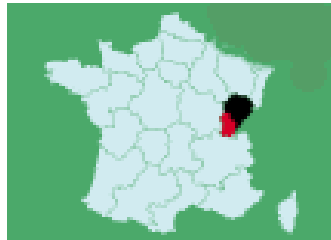


- Velké množství testů, riziko "false positives" → využití vícerozměrných metod

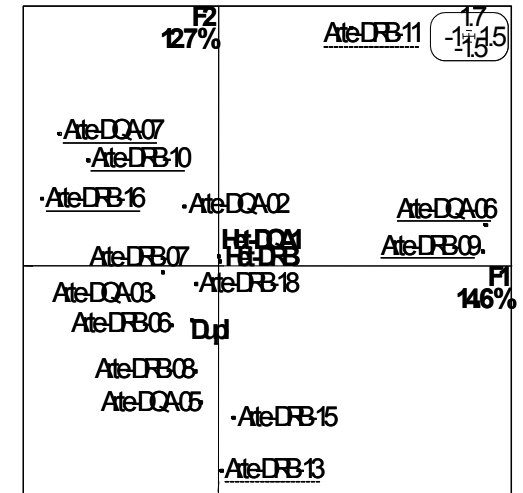
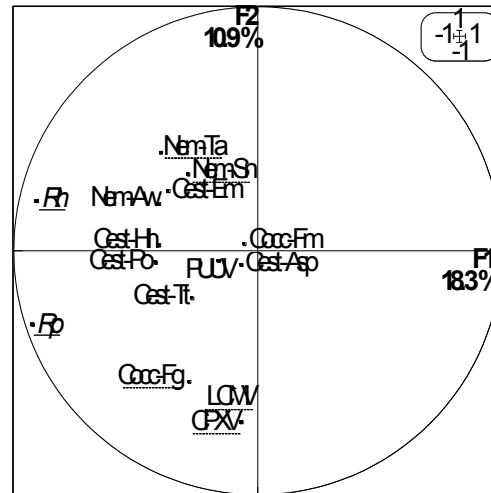
Př. *Arvicola terrestris* – hryzec vodní



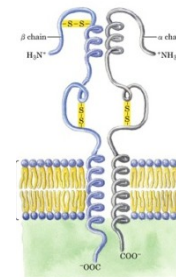
© Lubomir Hlasek
www.hlasek.com
Arvicola terrestris dal1698



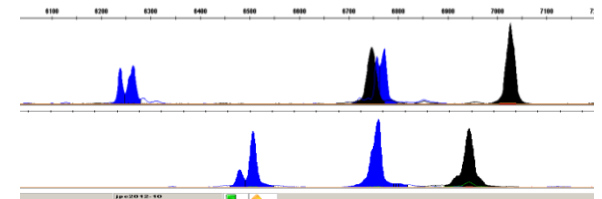
Canton Nozeroy (pohoří Jura, région Franche-Comté)



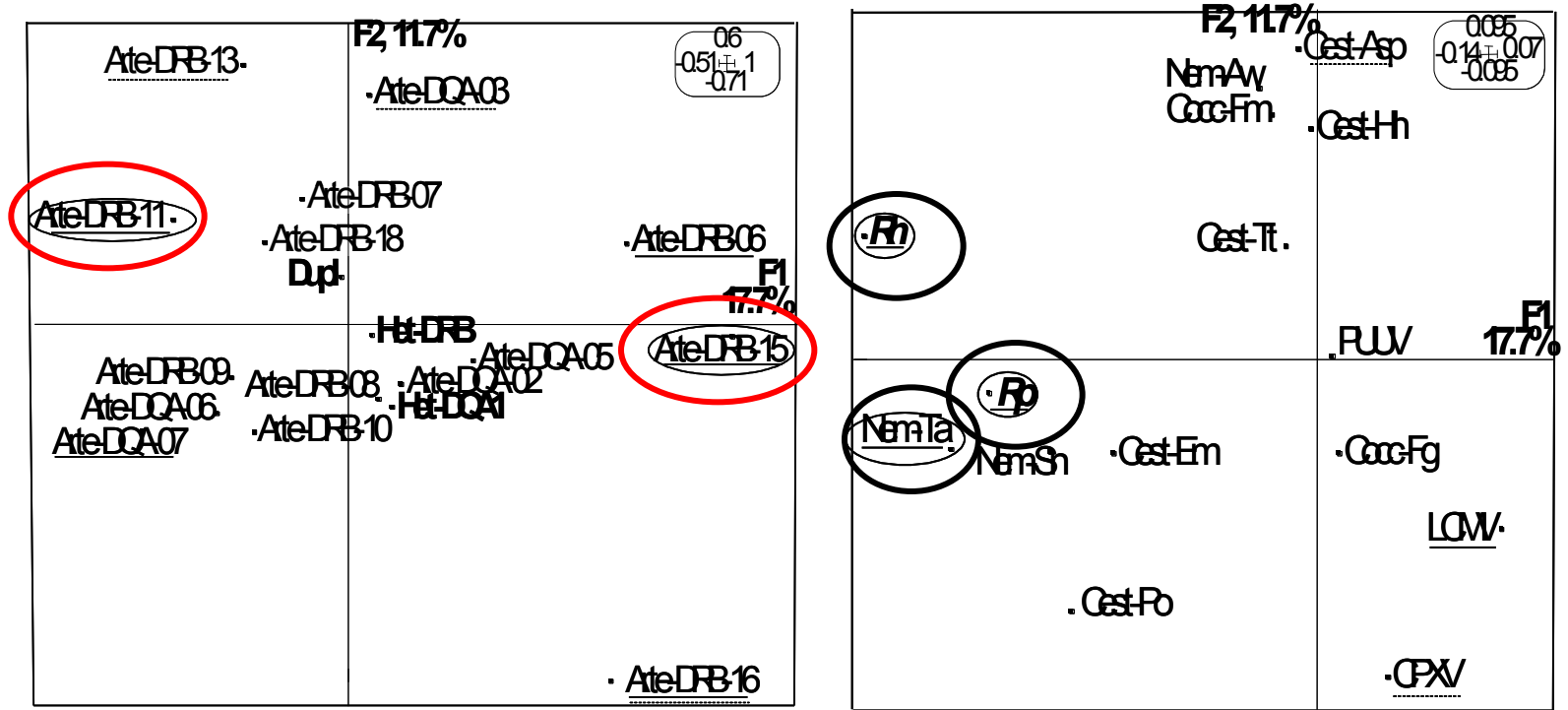
- 6 populací, 3 roky
- téměř kompletní parazitologická analýza (včetně některých virů)
- vícerozměrné analýzy



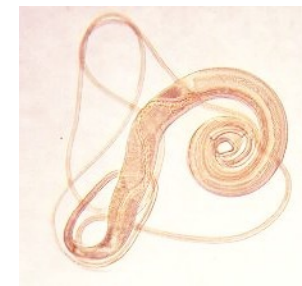
SSCP analýza



Analýza koinercie (co-inertia analysis)



Alely DRB-11 a DRB-15 mají antagonistický efekt vzhledem k *Trichuris arvicolae* a k celkové diverzitě parazitů





Is MHC enough for understanding wildlife immunogenetics?

Karina Acevedo-Whitehouse and Andrew A. Cunningham

Institute of Zoology, Regent's Park, London, NW1 4RY, UK

„Mapping and association studies have revealed that approximately half of the genetic variability for resistance to infection is attributable to non-MHC genes, suggesting that MHC-independent immune responses also undergo host-pathogen coevolution.“

Acevedo-Whitehouse & Cunningham 2006